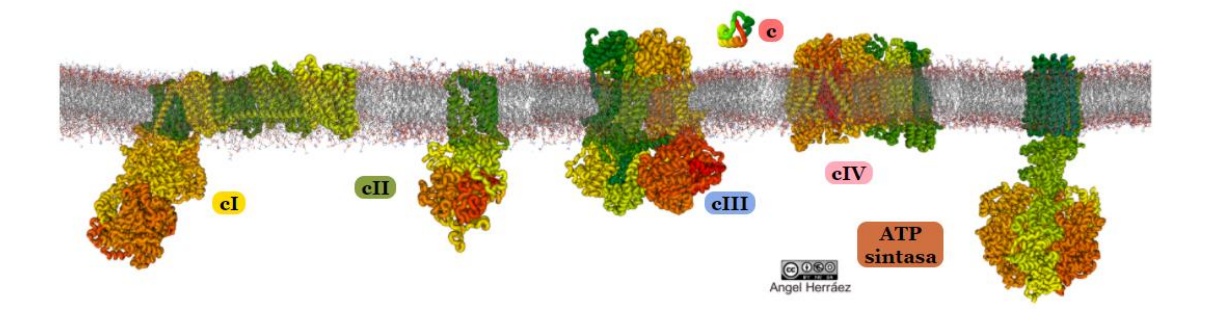
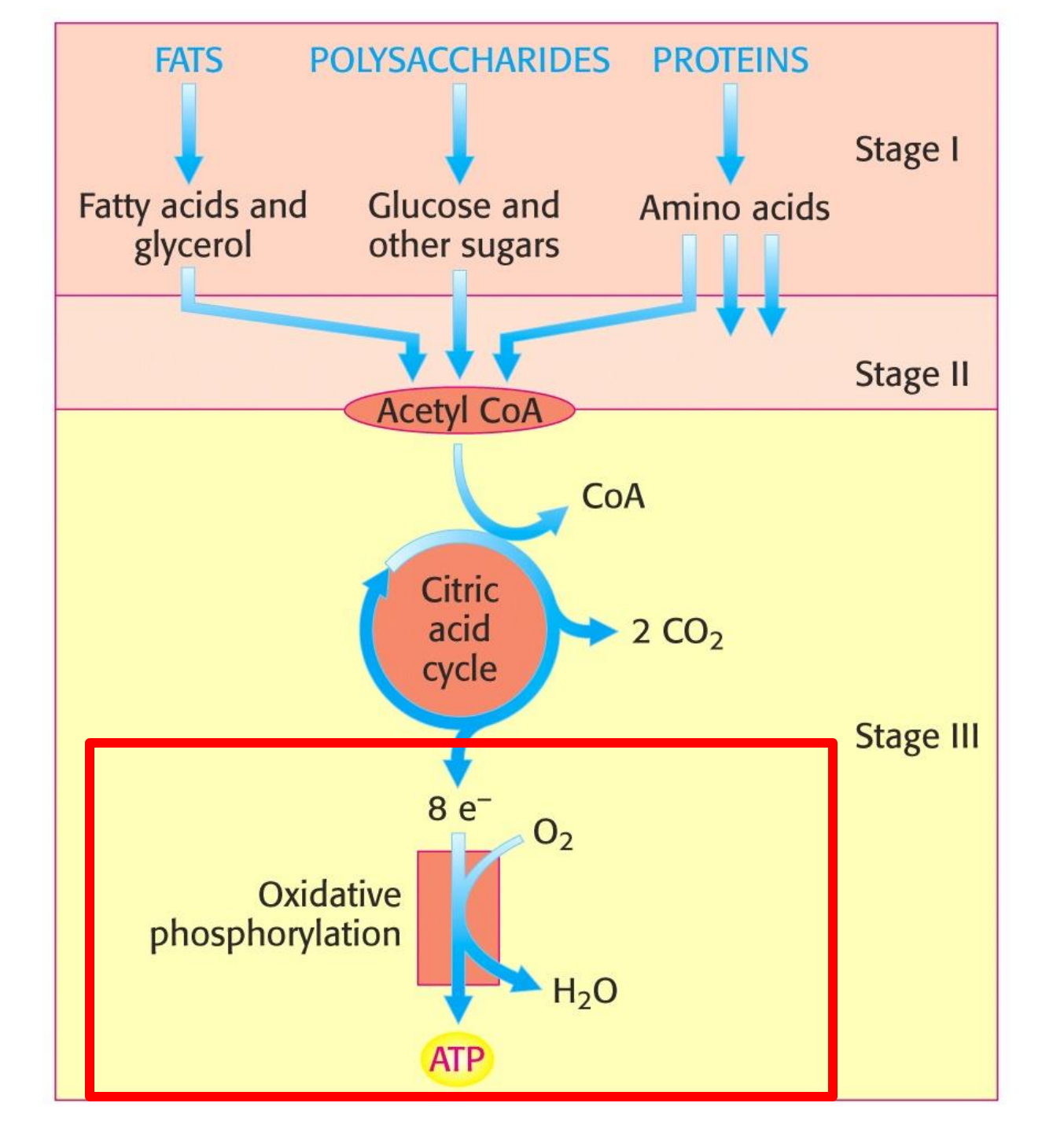


Fosforilación Oxidativa



Marco Galleguillos Caamaño B.Q. Mg. en BQ

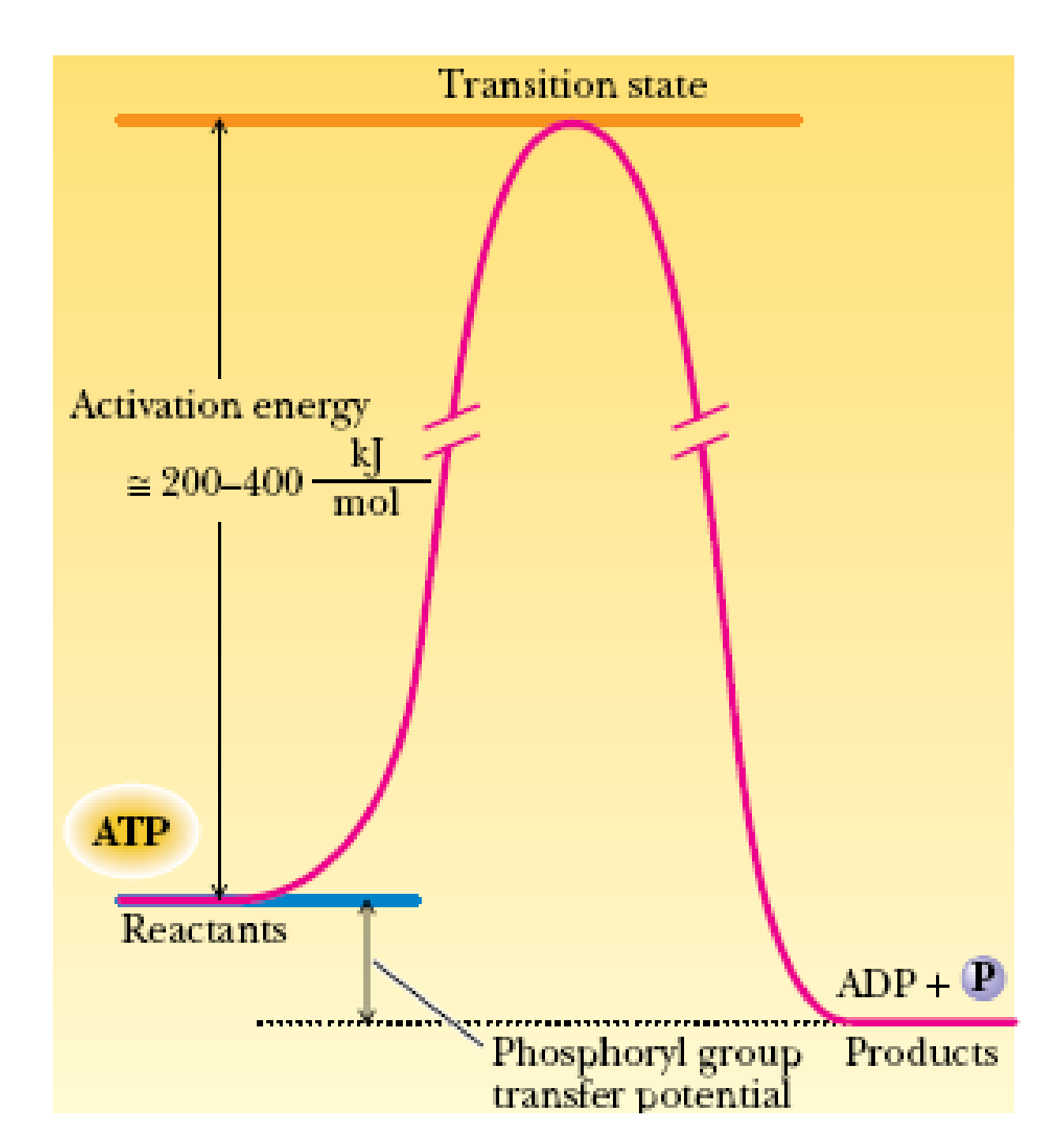


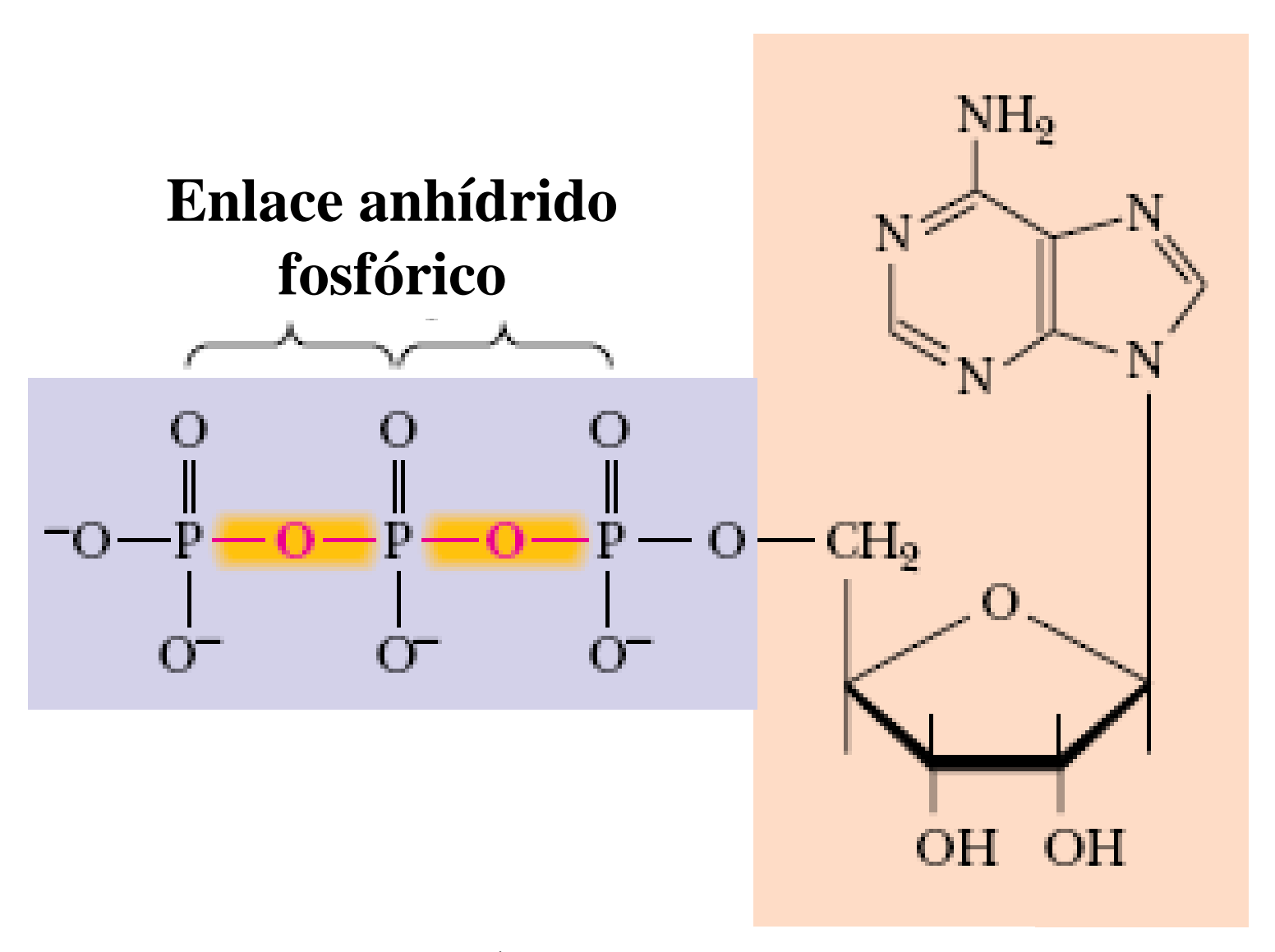
$$ADP + P_i \longrightarrow ATP + H_2O$$
 $\Delta G = +55 \text{ kJ/mol}$

La síntesis de ATP es un proceso endergónico, es decir requiere ENERGÍA para que ocurra

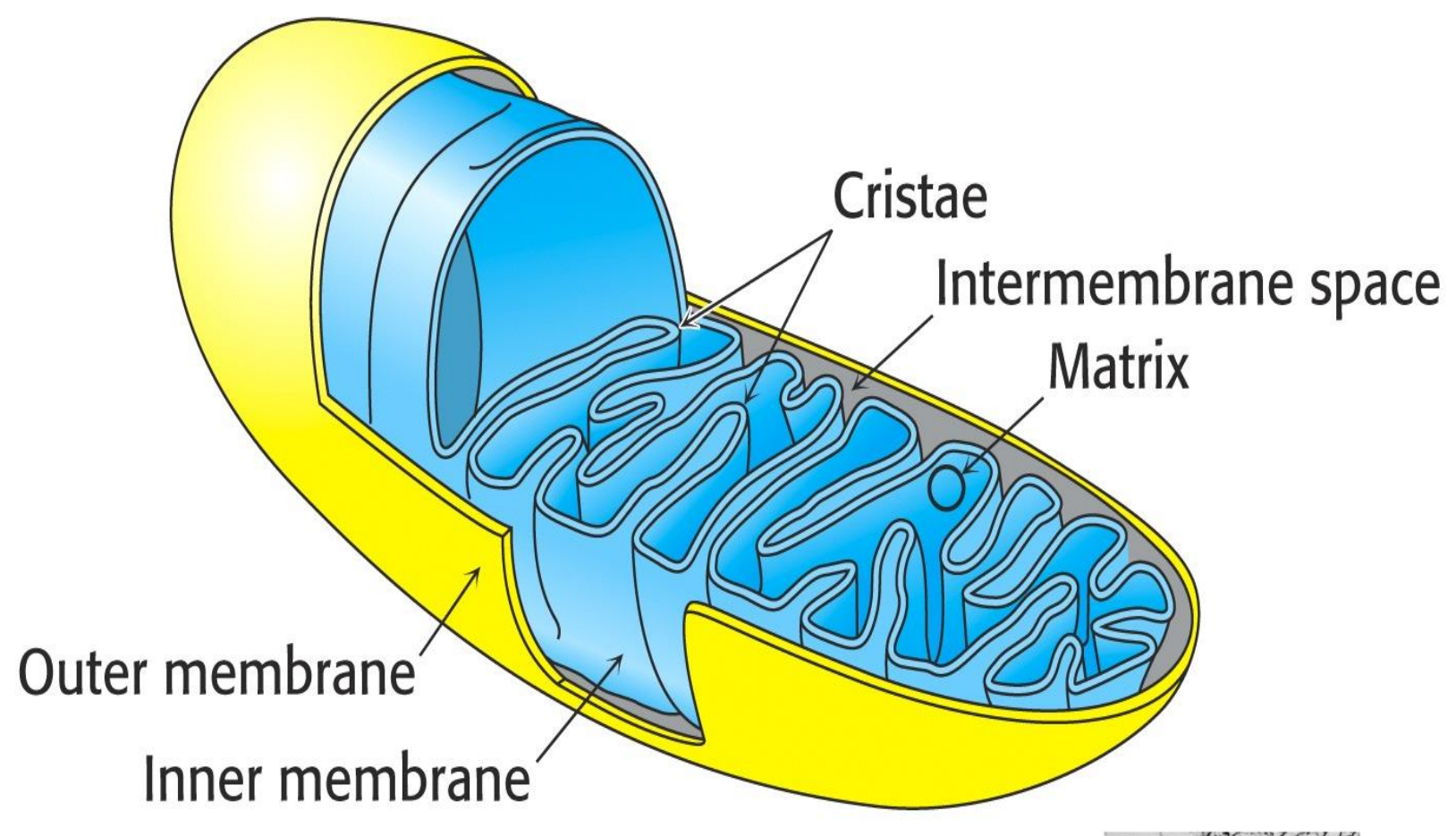
Por lo tanto el proceso inverso libera Energía

La hidrólisis del ATP tiene una alta energía de activación.

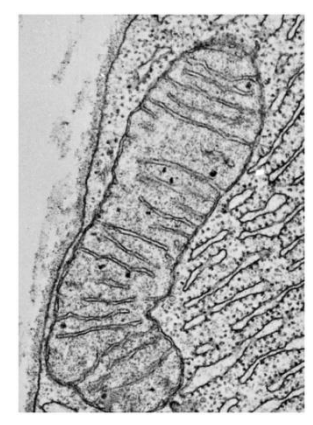




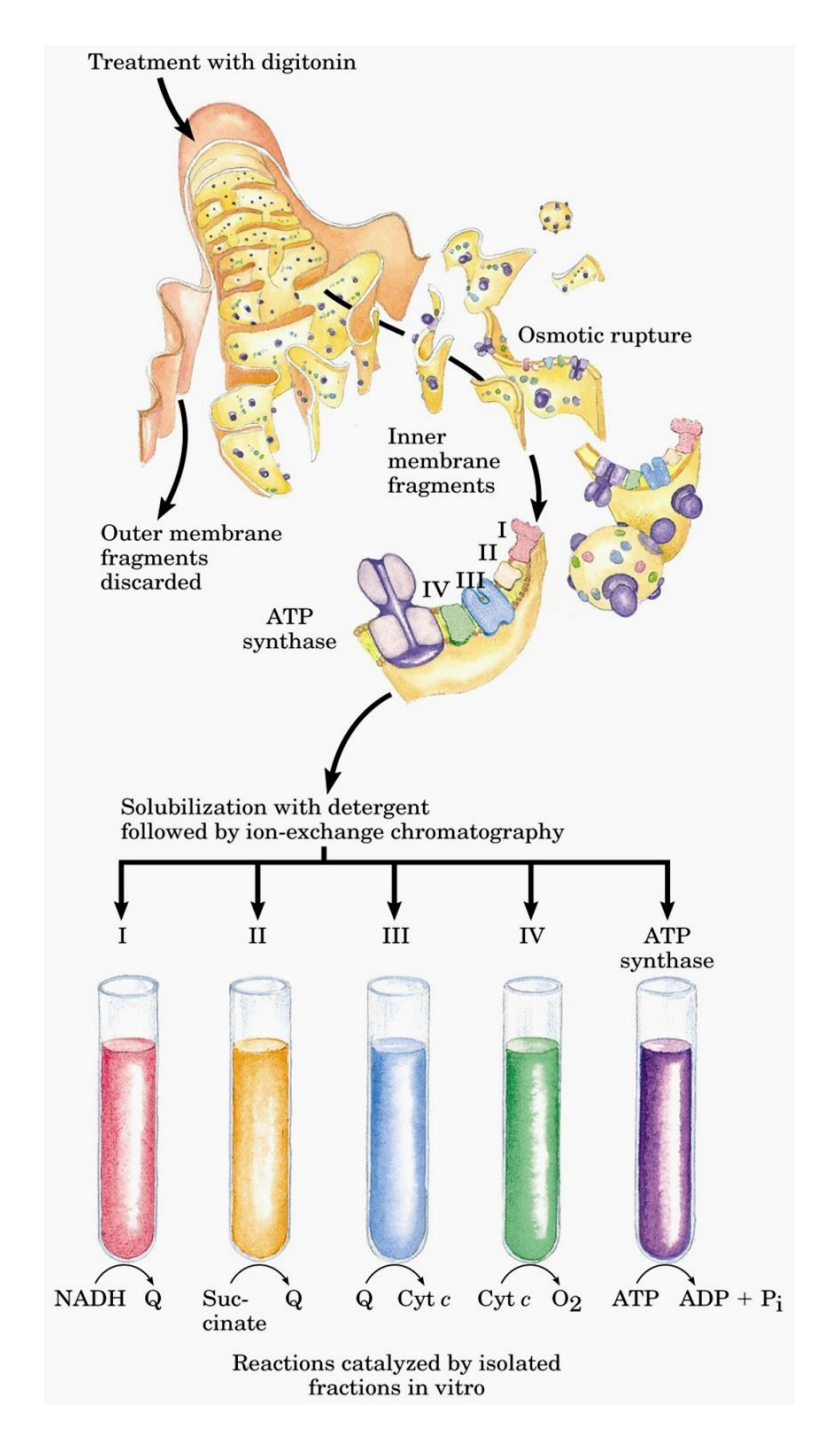
ATP (adenosín-5´-trifosfato)



En 1948, E. Kennedy y A. Lehninger descubrieron que la fosforilación oxidativa ocurre en la mitocondria

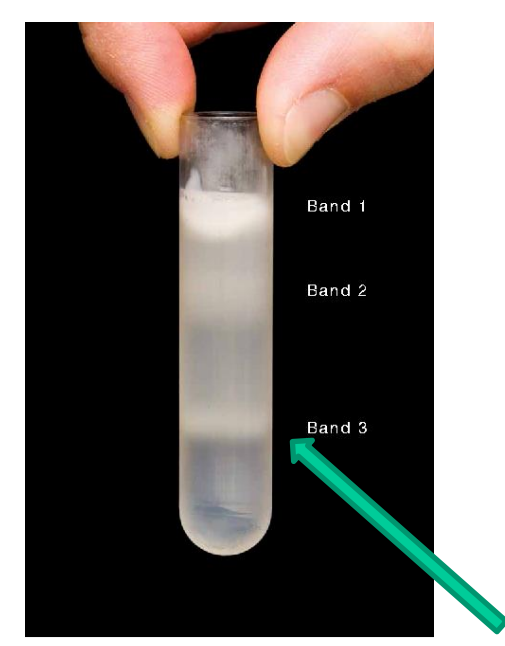


Los complejos proteicos mitocondriales se pueden aislar

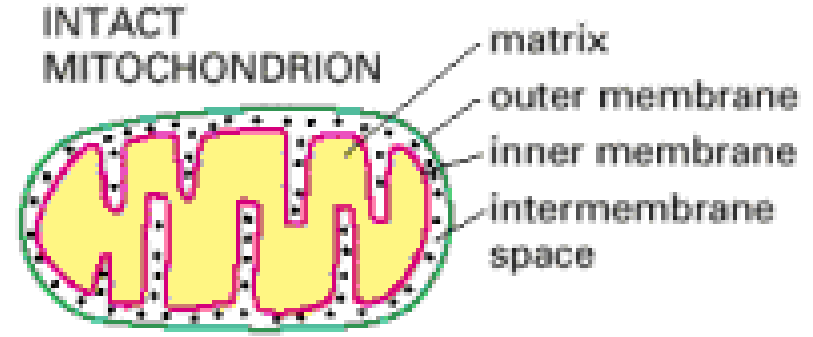




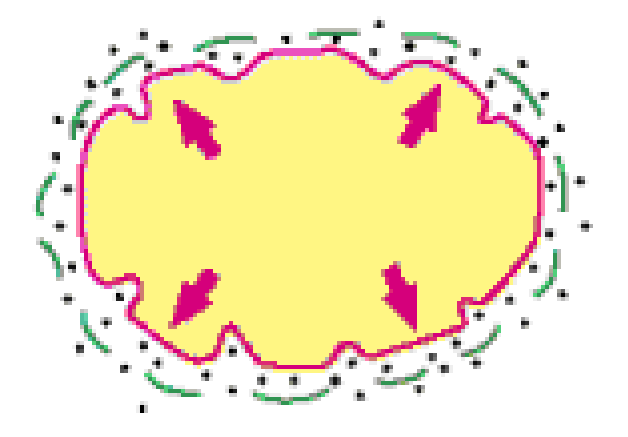


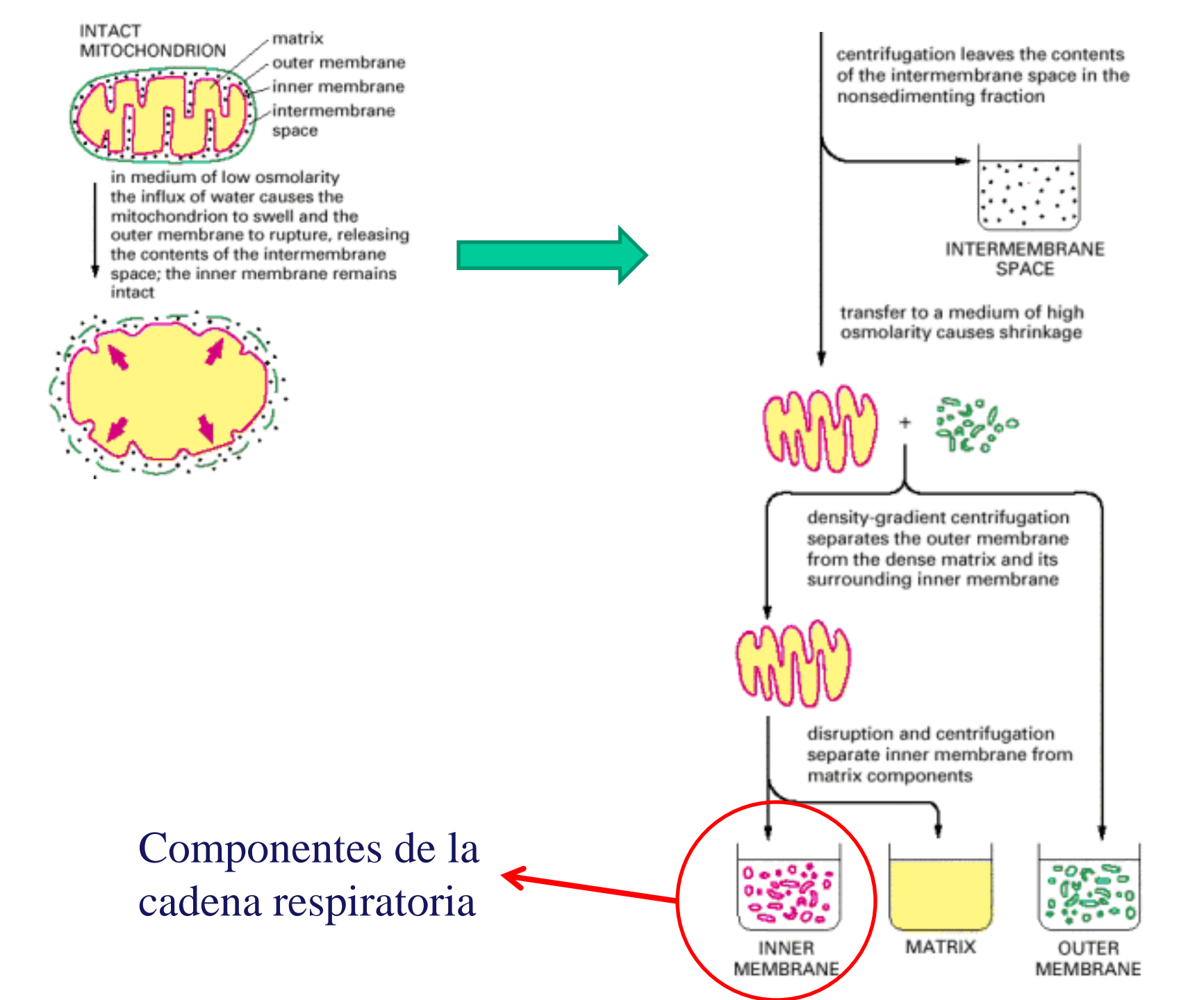


Mitocondrias

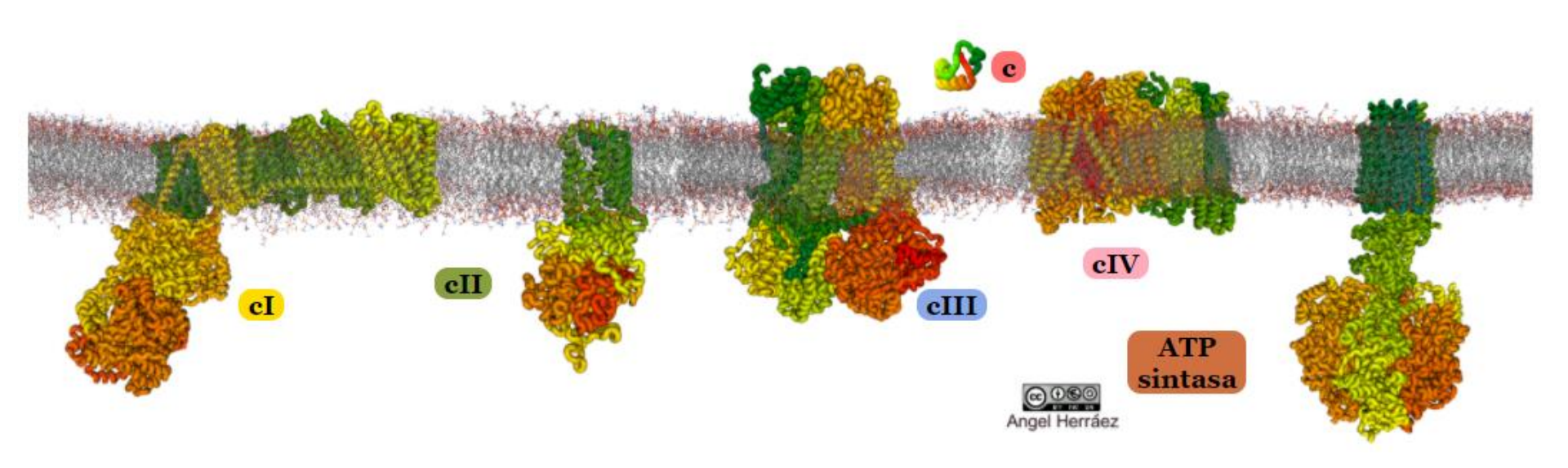


in medium of low osmolarity
the influx of water causes the
mitochondrion to swell and the
outer membrane to rupture, releasing
the contents of the intermembrane
space; the inner membrane remains
intact





Cadena transportadora de electrones



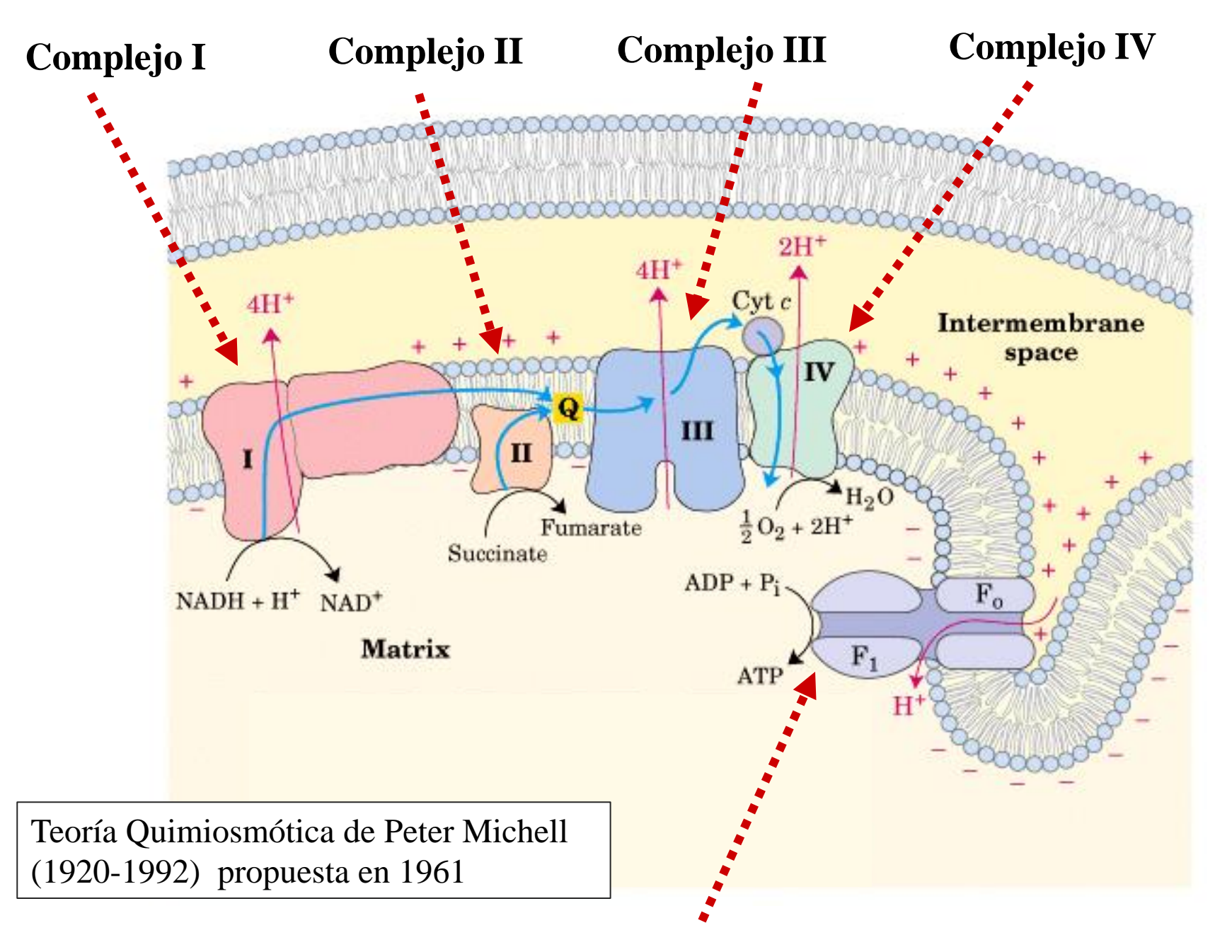
<u>table 19-3</u>

Protein Components of the Mitochondrial Electron-Transfer Chain

Enzyme complex	Mass (kDa)	Number of subunits*	Prosthetic group(s)
I NADH dehydrogenase	850	42 (14)	FMN, Fe-S
II Succinate dehydrogenase	140	5	FAD, Fe-S
III Ubiquinone: cytochrome <i>c</i> oxidoreductase	250	11	Hemes, Fe-S
Cytochrome c^{\dagger}	13	1	Heme
IV Cytochrome oxidase	160	13 (3–4)	Hemes; Cu _A , Cu _B

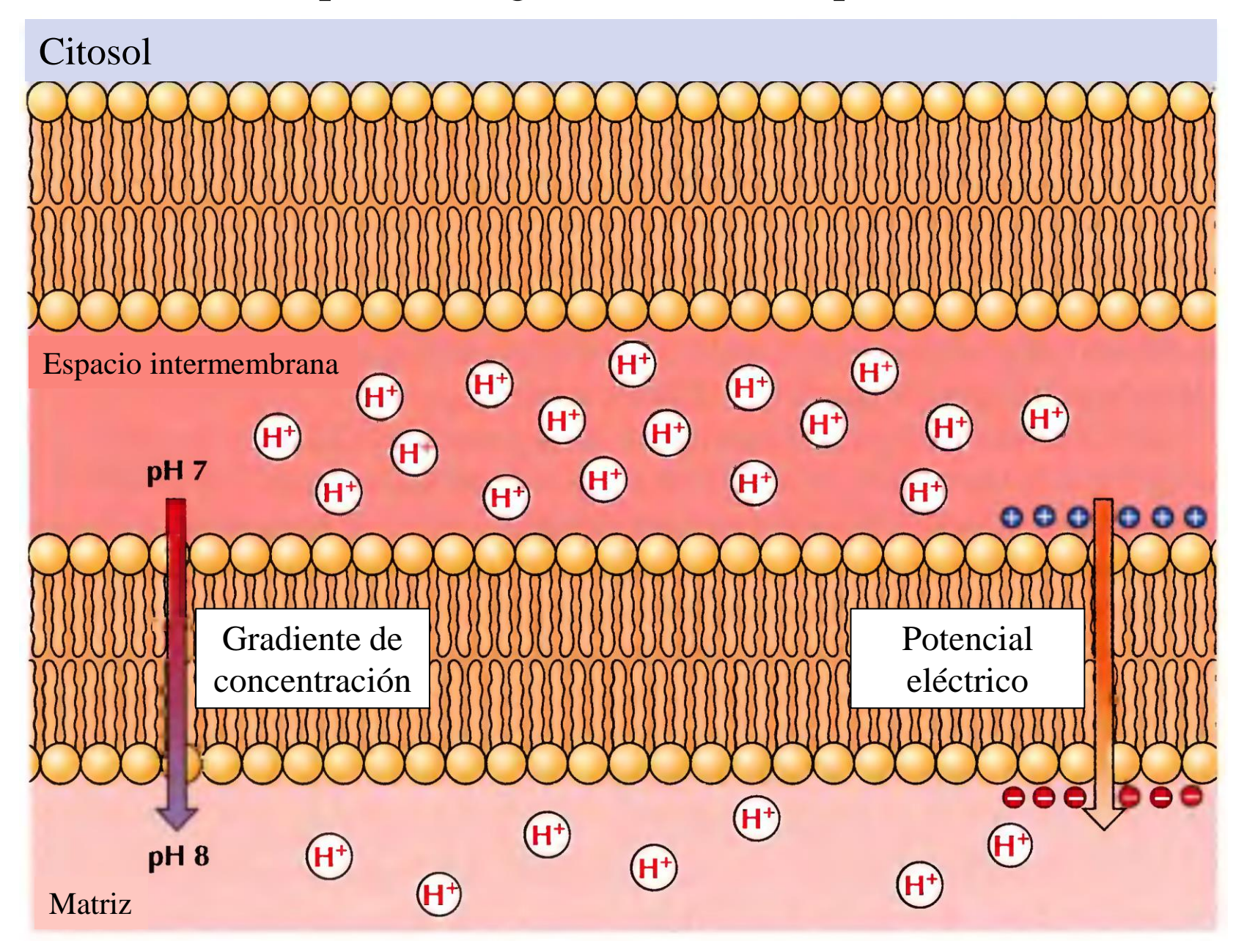
^{*}Numbers of subunits in the bacterial equivalents in parentheses.

[†]Cytochrome c is not part of an enzyme complex; it moves between Complexes III and IV as a freely soluble protein.

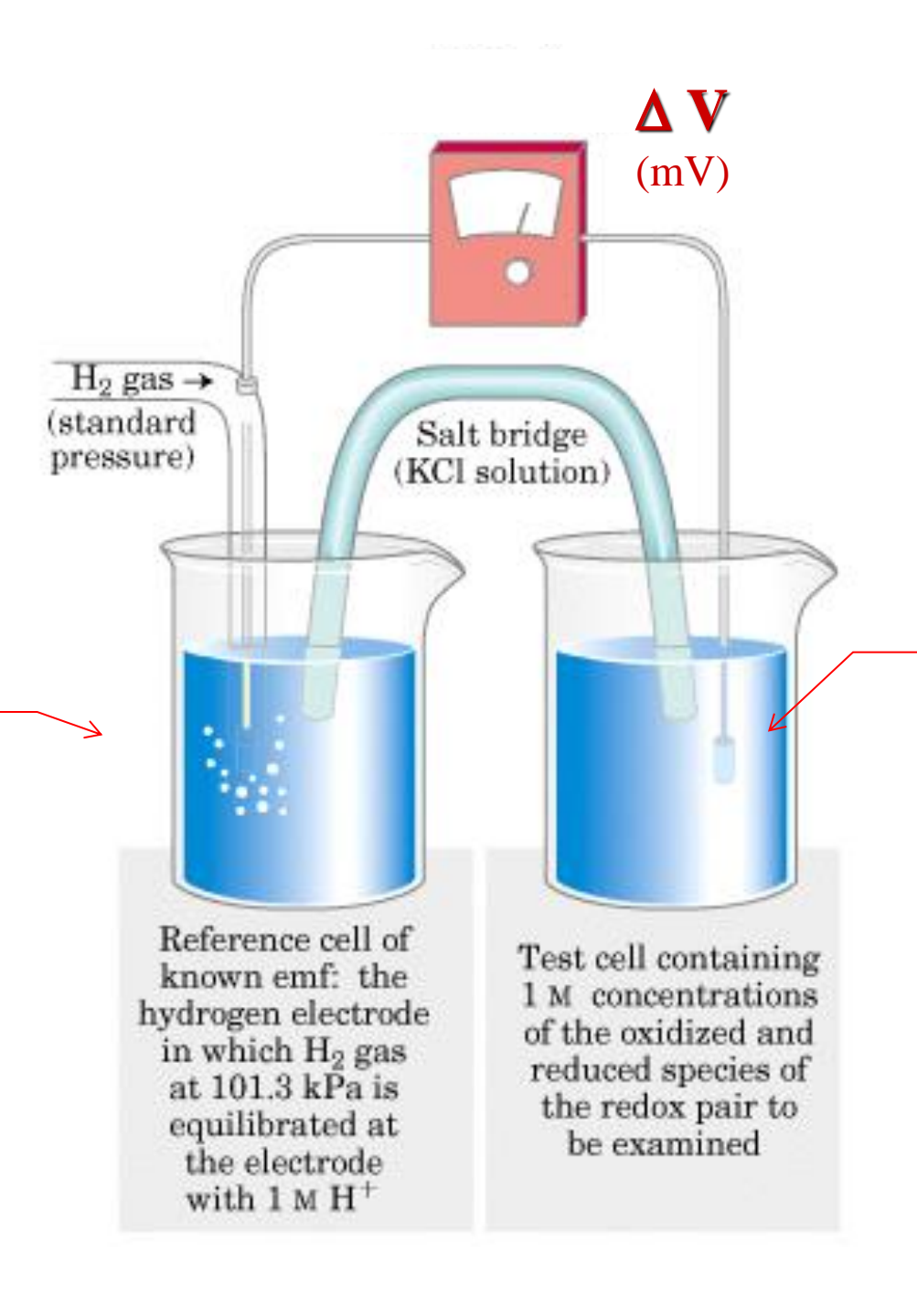


ATP sintetasa

Gradiente de protones (gradiente electroquímico)



Las reacciones óxido-reducción pueden ordenarse en una tabla de acuerdo a su potencial redox (E°) medido en condiciones estándar.



Referencia

Especie

química a

ensayar

$\Delta G^{o} = - nF \Delta E^{o}$

```
n = n^{o} de electrones transferidos
```

F = Constante de Faraday (23062 cal)

 $\Delta E^{o} = \Delta V$ entre oxidante (aceptor) y reductor (dador de e⁻)

$\Delta G^{o} = - nF \Delta E^{o}$	TABLE 18.1 Standard reduc	ABLE 18.1 Standard reduction potentials of some reactions			
Buenos dadores de electrones	Oxidant	xidant Reductant		E_0' (V)	
	Succinate + CO ₂	α-Ketoglutarate	2	- 0.67	
	Acetate	Acetaldehyde	2	-0.60	
	Ferredoxin (oxidized)	Ferredoxin (reduced)	1	-0.43	
	2 H ⁺	H_2	2	-0.42	
	NAD ⁺	- → NADH + H ⁺	2	-0.32	
	NADP+	$NADPH + H^{+}$	2	-0.32	
	Lipoate (oxidized)	Lipoate (reduced)	2	-0.29	
	Glutathione (oxidized)	Glutathione (reduced)	2	-0.23	
	FAD	→ FADH ₂	2	-0.22	
	Acetaldehyde	Ethanol	2	-0.20	
	Pyruvate	Lactate	2	-0.19	
	Fumarate	Succinate	2	0.03	
	Cytochrome b (+3)	Cytochrome b (+2)	1	0.07	
	Dehydroascorbate	Ascorbate	2	0.08	
	Ubiquinone (oxidized)	Ubiquinone (reduced)	2	0.10	
	Cytochrome c (+3)	Cytochrome c (+2)	1	0.22	
El mejor	Fe (+3)	Fe (+2)	1	0.77	
aceptor de —	$\frac{1}{2}$ O ₂ + 2 H ⁺	H_2O	2	0.82	
electrones	N. D. I.	1 1 1 1 1 1 1 1 1 1 1 1 1 1 1 1 1 1 1 1			

Note: E'_0 is the standard oxidation—reduction potential (pH 7, 25°C) and n is the number of electrons transferred. E'_0 refers to the partial reaction written as

Oxidant $+ e^- \longrightarrow reductant$

Reacciones de reducción

$$NAD^{+} + 2e^{-} + 2H^{+} \longrightarrow NADH + H^{+}$$

$$FAD + 2e^{-} + 2H^{+} \iff FADH_{2}$$

TABLE 18.1 Standard reduction potentials of some reactions

Oxidant	Reductant	n	E_0' (V)
Succinate + CO ₂	α-Ketoglutarate	2	-0.67
Acetate	Acetaldehyde	2	-0.60
Ferredoxin (oxidized)	Ferredoxin (reduced)	1	-0.43
2 H ⁺	H_2	2	-0.42
NAD ⁺	$NADH + H^{+}$	2	-0.32
NADP ⁺	$NADPH + H^{+}$	2	-0.32
Lipoate (oxidized)	Lipoate (reduced)	2	-0.29
Glutathione (oxidized)	Glutathione (reduced)	2	-0.23
FAD	$FADH_2$	2	-0.22
Acetaldehyde	Ethanol	2	-0.20
Pyruvate	Lactate	2	-0.19
Fumarate	Succinate	2	0.03
Cytochrome $b(+3)$	Cytochrome b (+2)	1	0.07
Dehydroascorbate	Ascorbate	2	0.08
Ubiquinone (oxidized)	Ubiquinone (reduced)	2	0.10
Cytochrome c (+3)	Cytochrome c (+2)	1	0.22
Fe (+3)	Fe $(+2)$	1	0.77
$\frac{1}{2}$ O ₂ + 2 H ⁺	H ₂ O	2	0.82

Note: E'_0 is the standard oxidation—reduction potential (pH 7, 25°C) and n is the number of electrons transferred. E'_0 refers to the partial reaction written as

Oxidant $+ e^- \longrightarrow reductant$

$$NAD^+ + 2e^-$$

$$\longrightarrow$$
 NADH + H⁺

- 0,32

+0,1



$$NADH + H^{+}$$

 \rightarrow NAD⁺ + 2e⁻

+0,32

+0,1

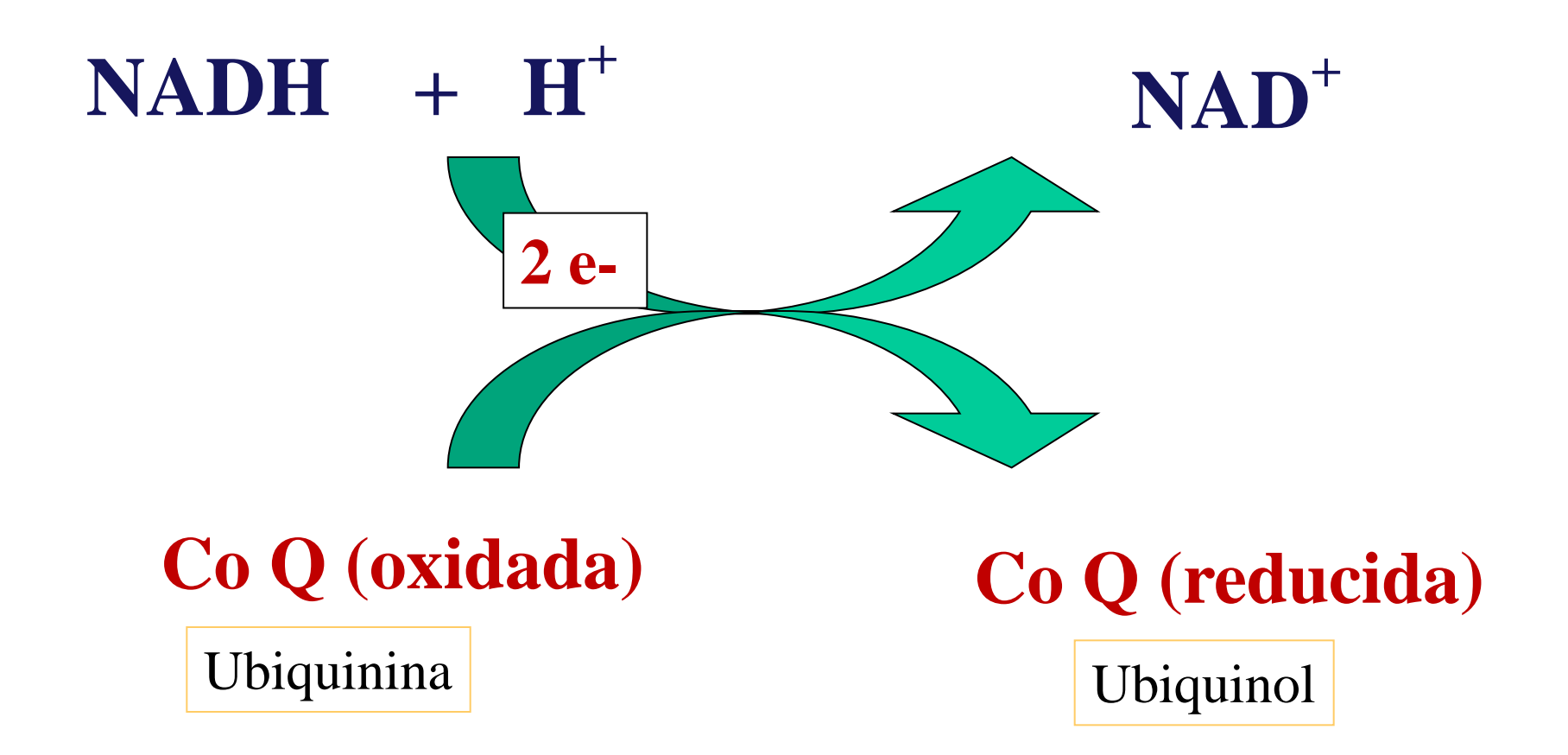
 $NADH + H^{+} + Ubiquinona \longrightarrow NAD^{+} + Ubiquinol$

Reacción espontánea



 $\leftarrow \Delta G < 0 \leftarrow | + 0.42$

Reacciones ACOPLADAS

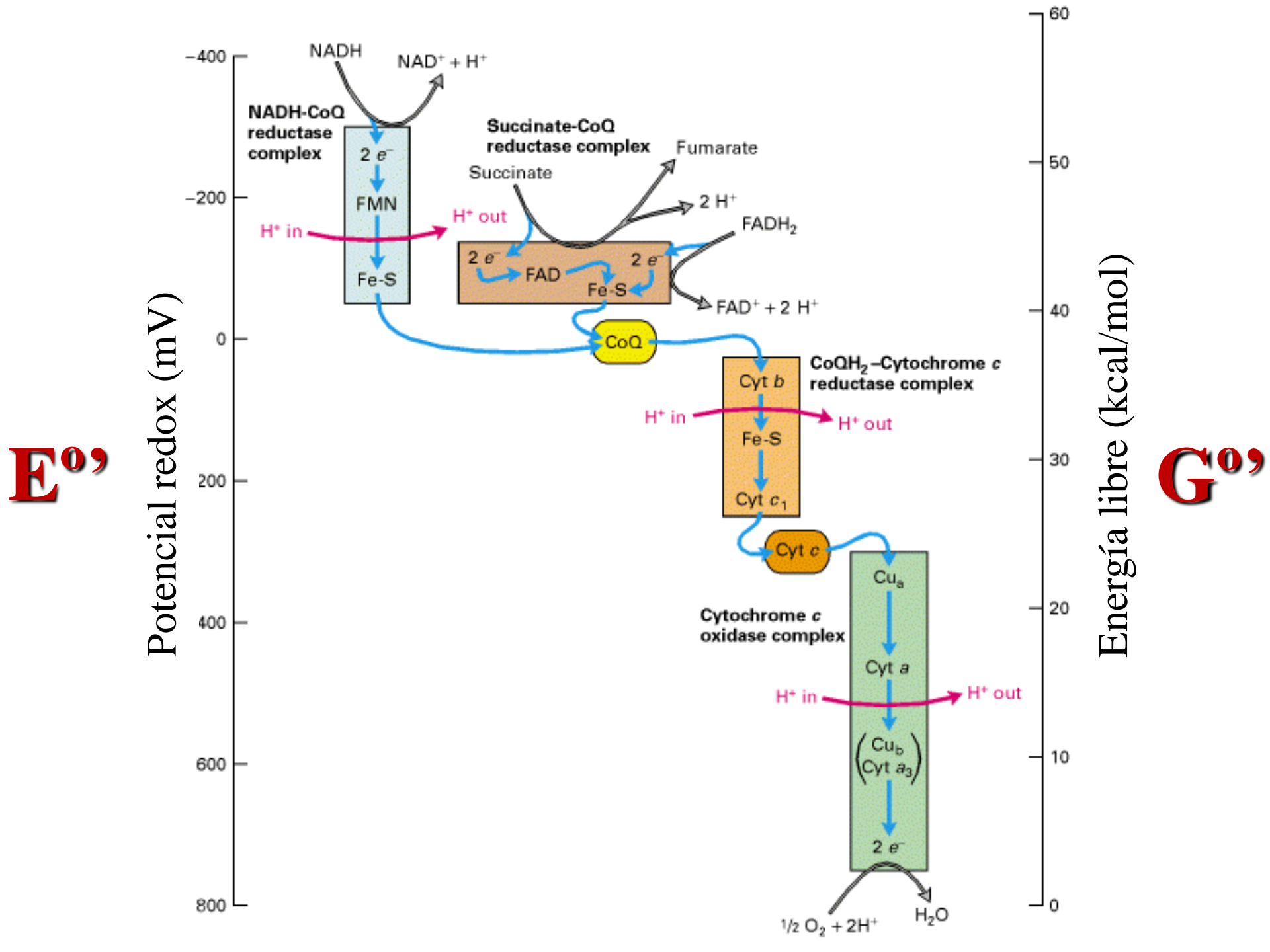


Ubiquinona

Forma oxidada de la coenzima Q (Q , ubiquinina)

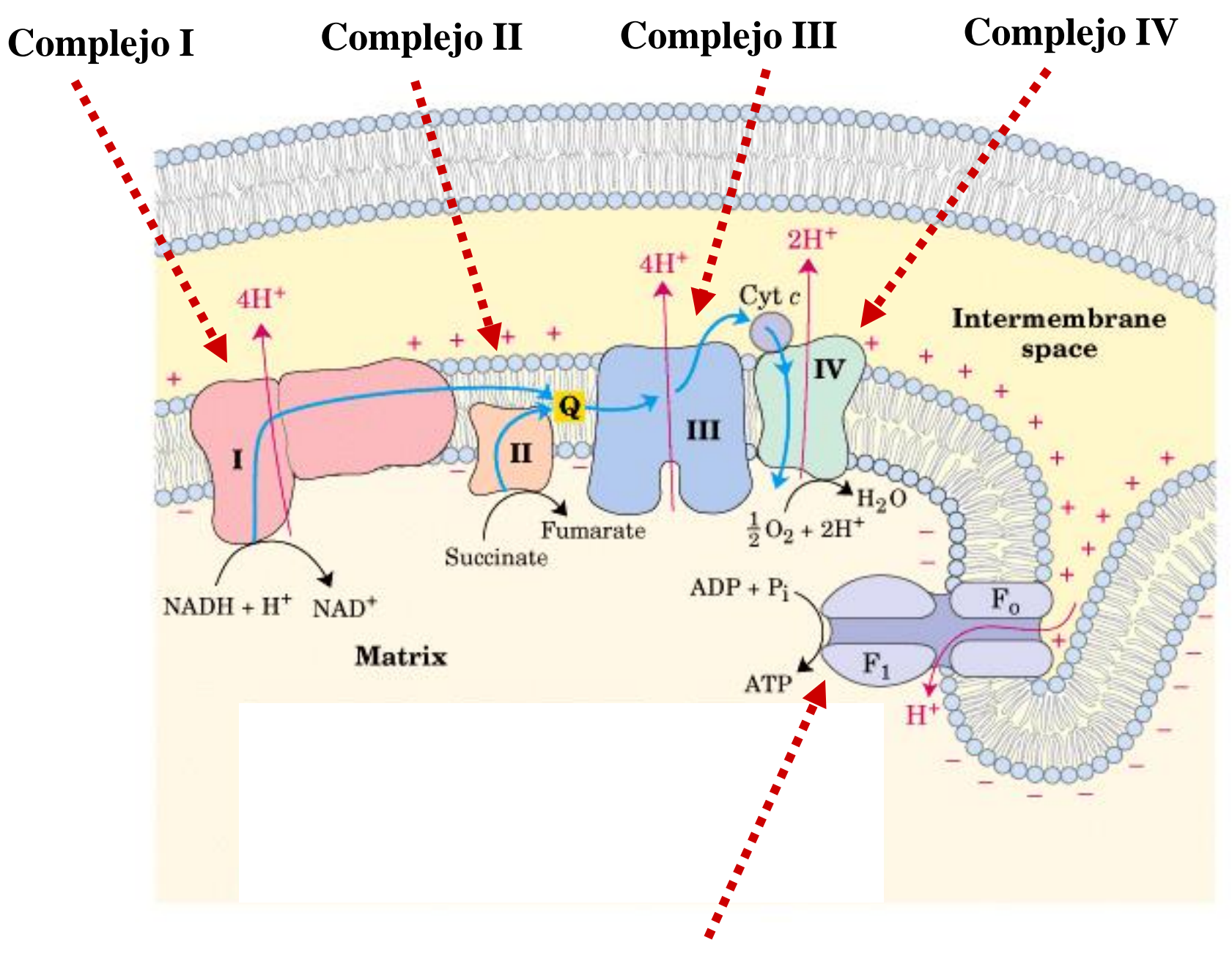
Semiquinona intermedia (Q-')

Forma reducida de la coenzima Q (QH₂ , ubiquinol)



Flavina mononucleótido

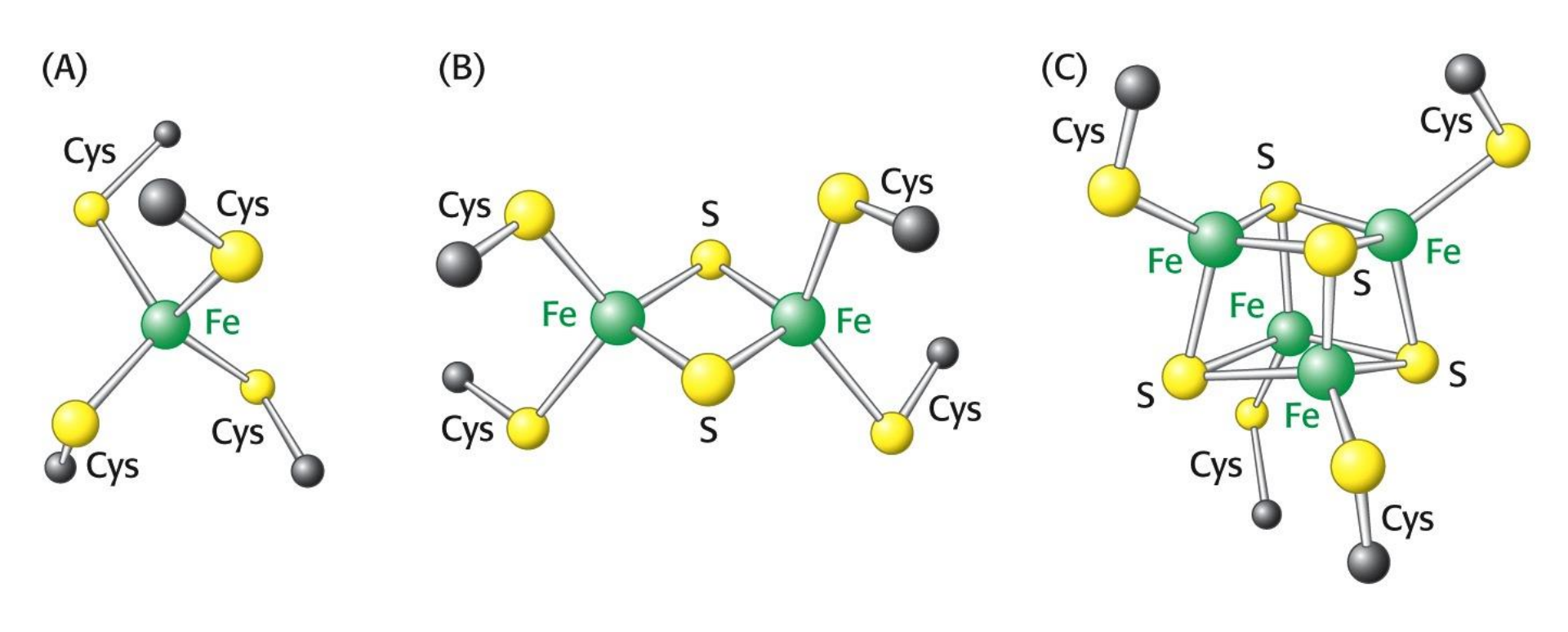
Flavin mononucleótido oxidado (FMN)



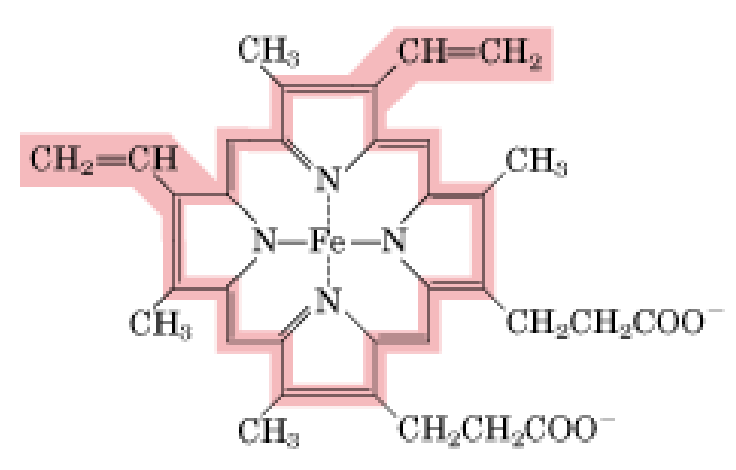
Dentro de cada complejo multienzimático los electrones se movilizan a través de metales (Fe y Cu) dispuesto en diferentes tipos de grupos prostéticos

$$Fe^{+2}$$
 \longrightarrow Fe^{+3} + e^{-}
 Cu^{+} \longrightarrow Cu^{+2} + e^{-}

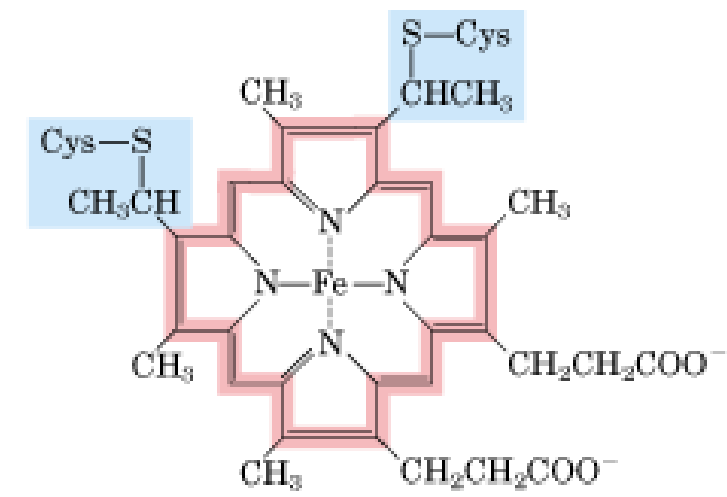
Complejos hierro-azufre



Grupos Hemo



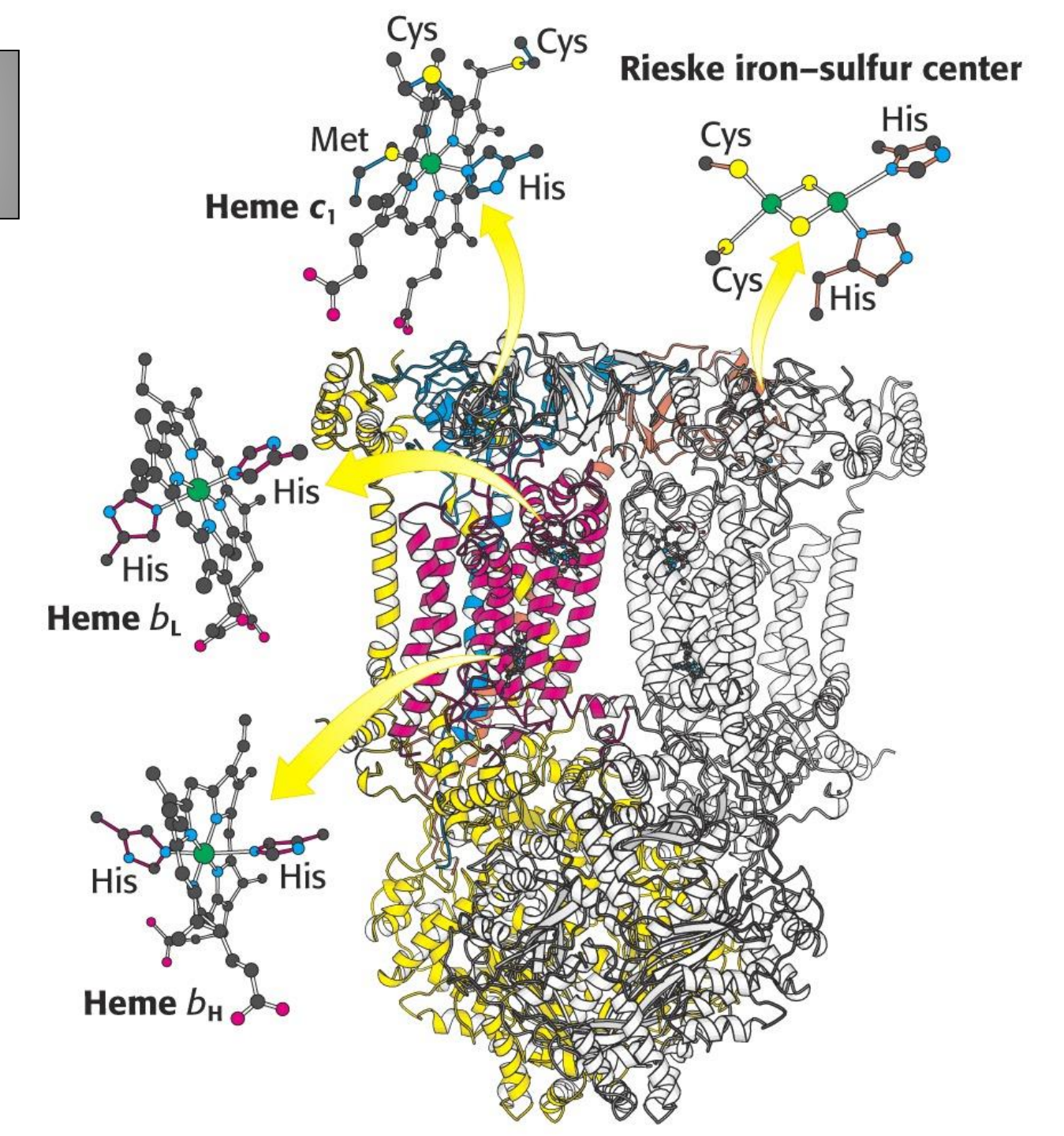
Iron protoporphyrin IX (in b-type cytochromes)



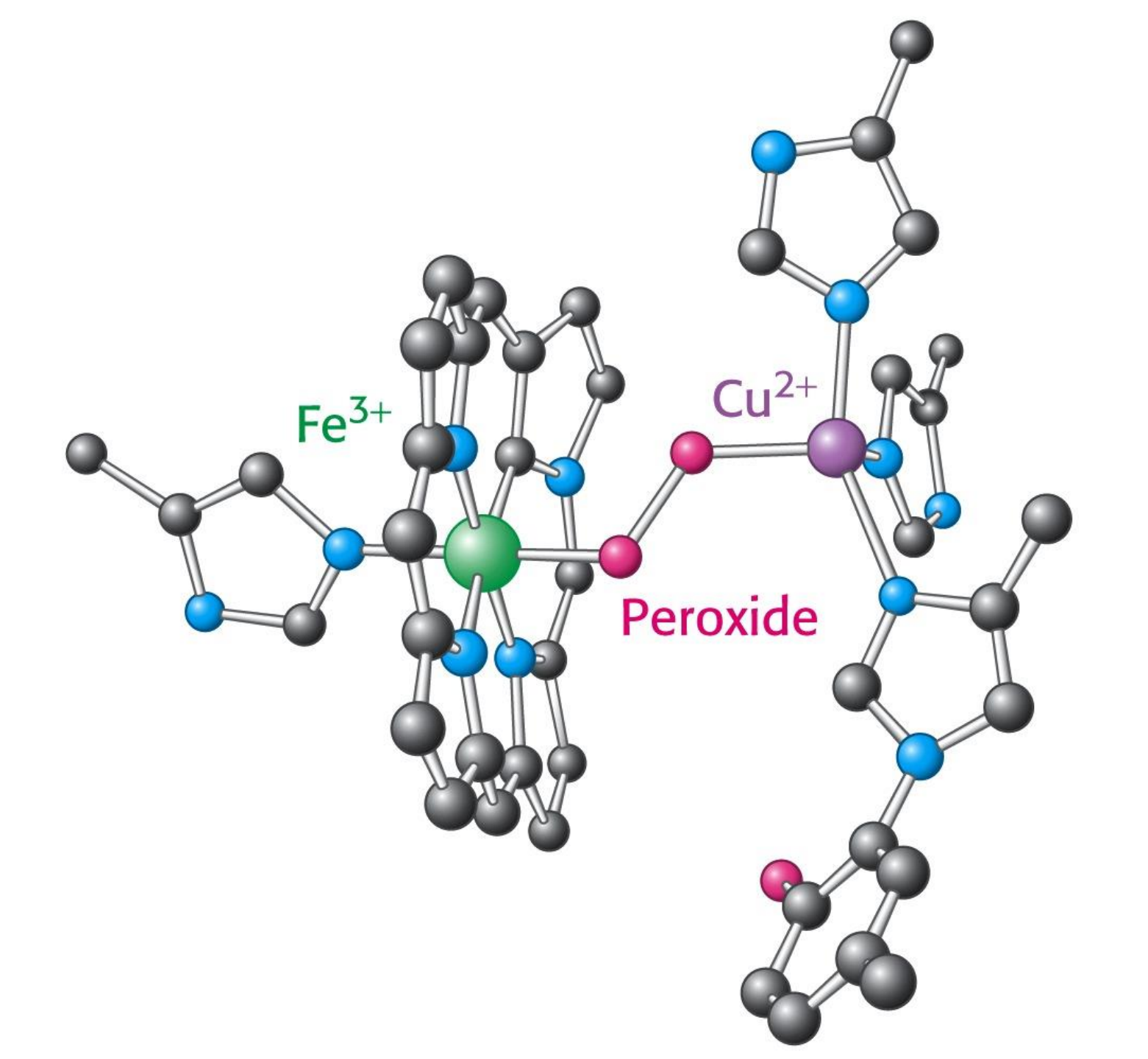
Heme C (in c-type cytochromes)

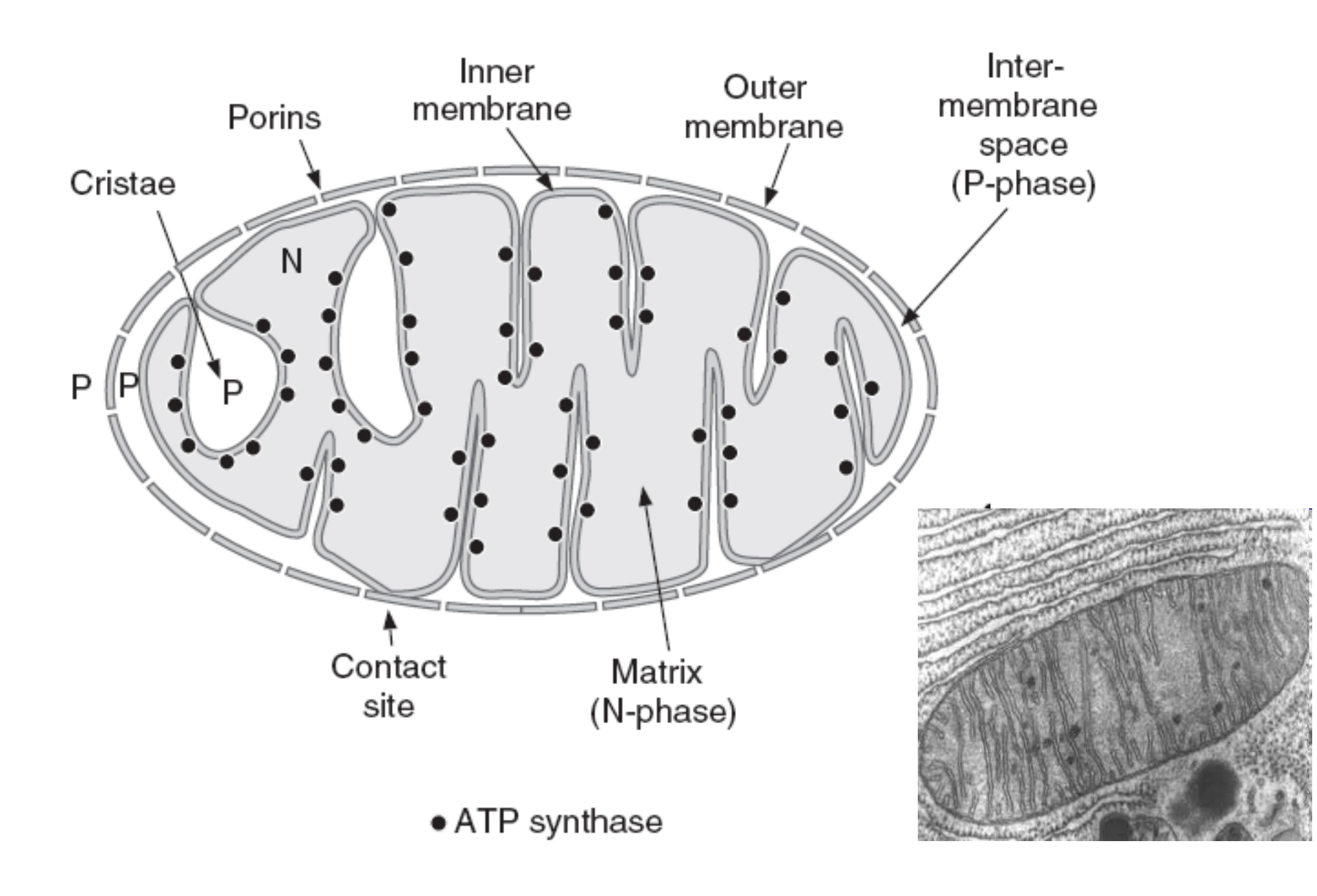
Heme A (in a-type cytochromes)

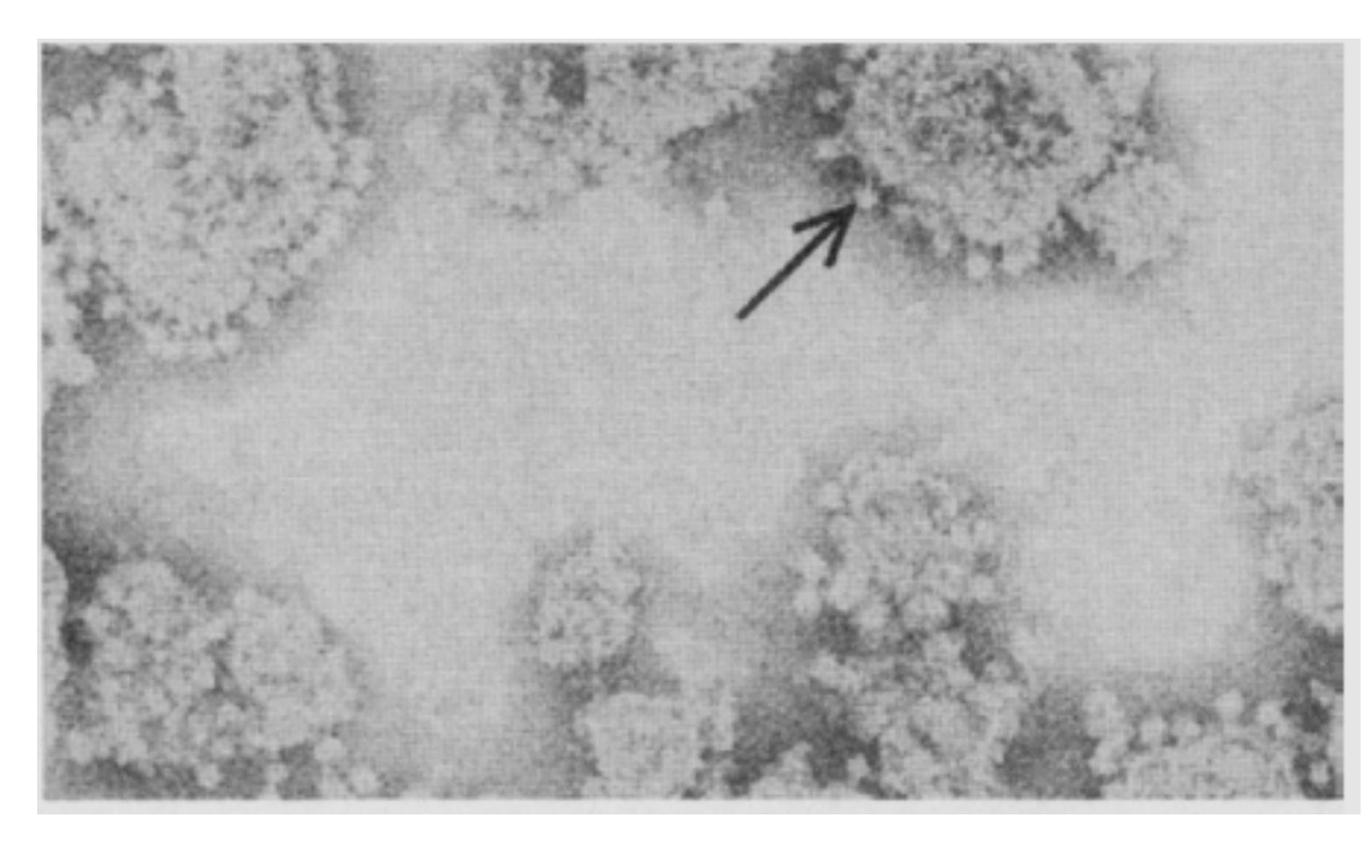
Complejo III (aprox. 10 subunid.)



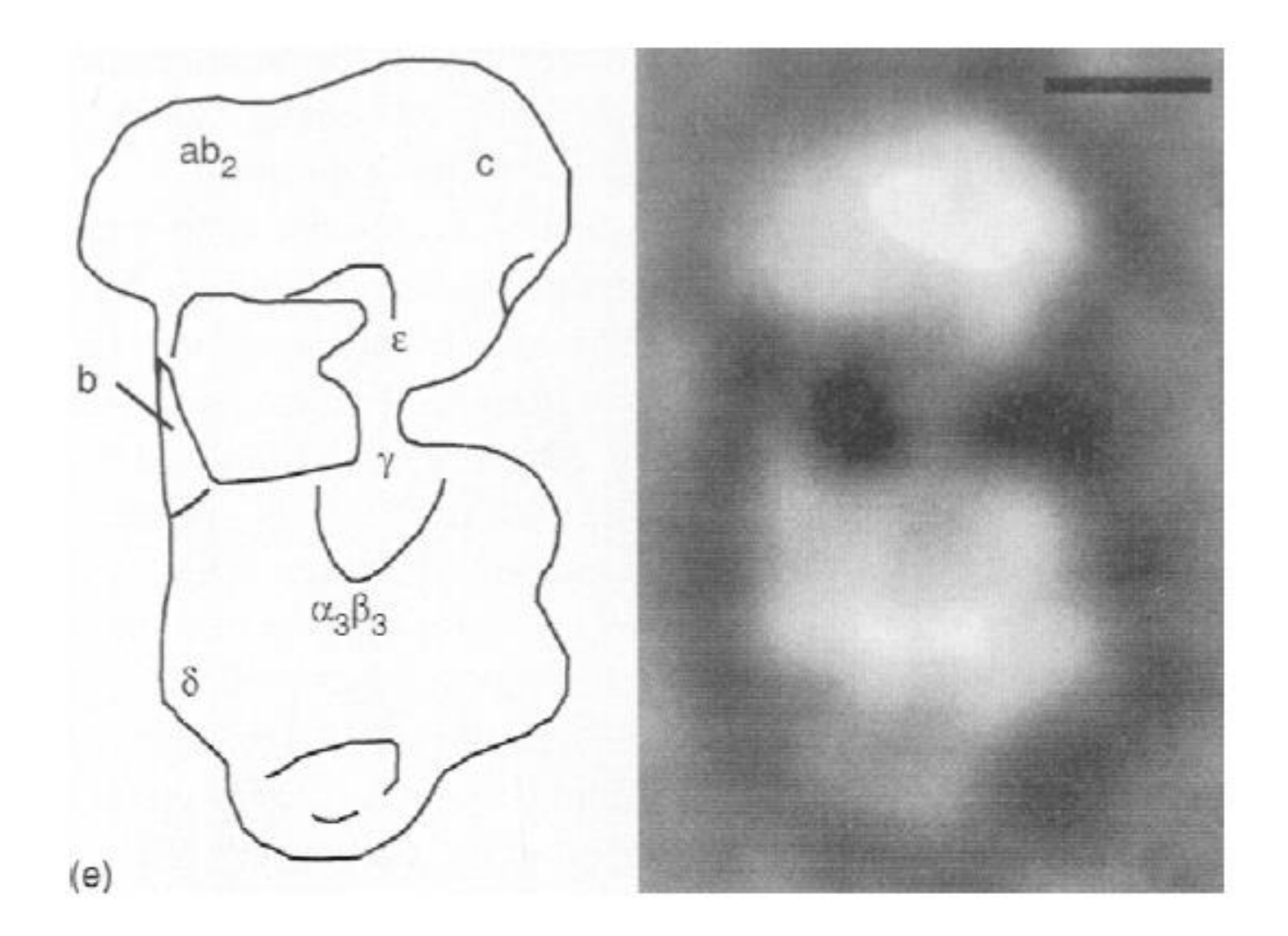
Cu_A/Cu_A Complejo IV His ? (aprox. 10 subunid.) His CO(bb) Cys Heme a_3 Cu_B Heme a His His His His His His







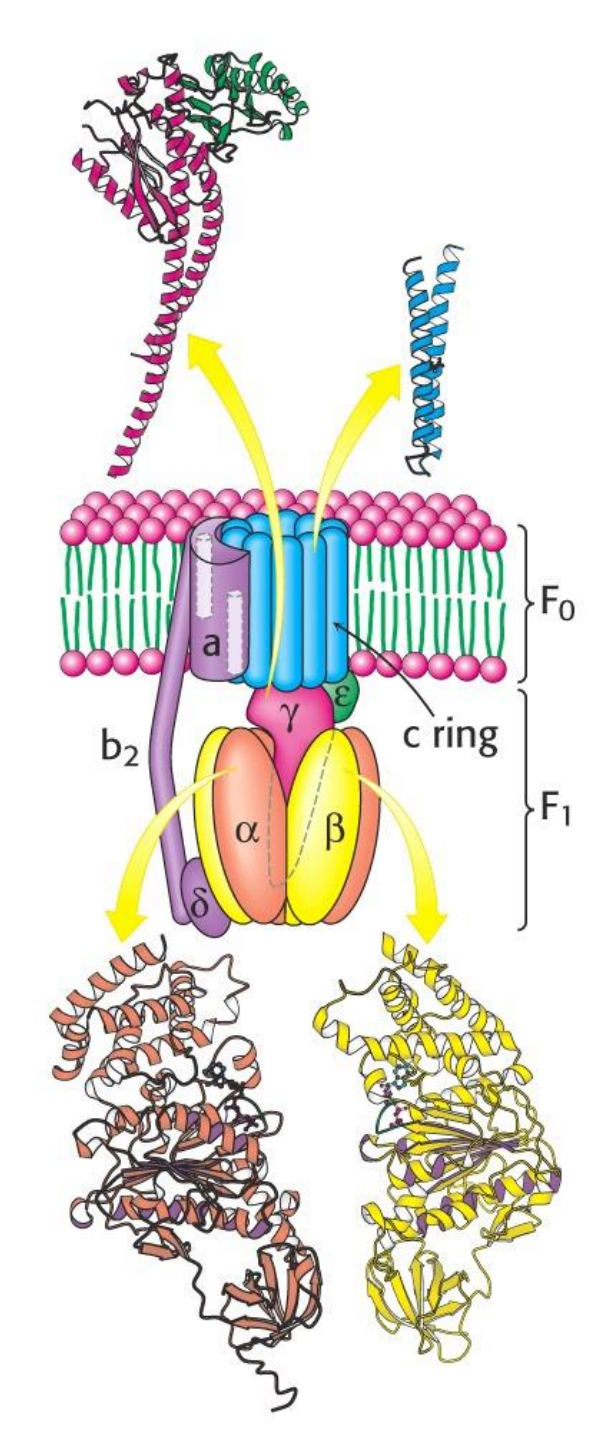
Partícula F1 (175.000X)

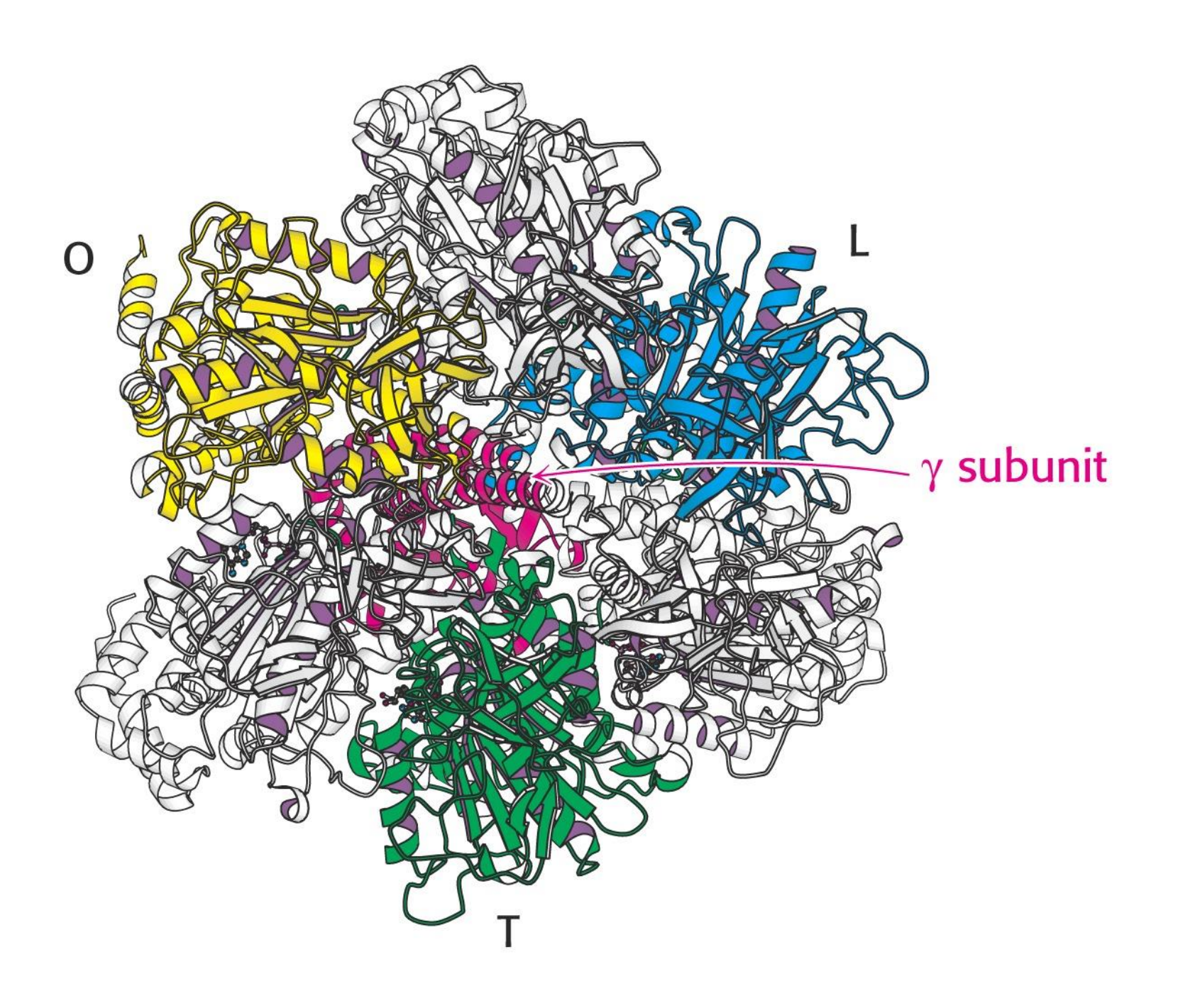


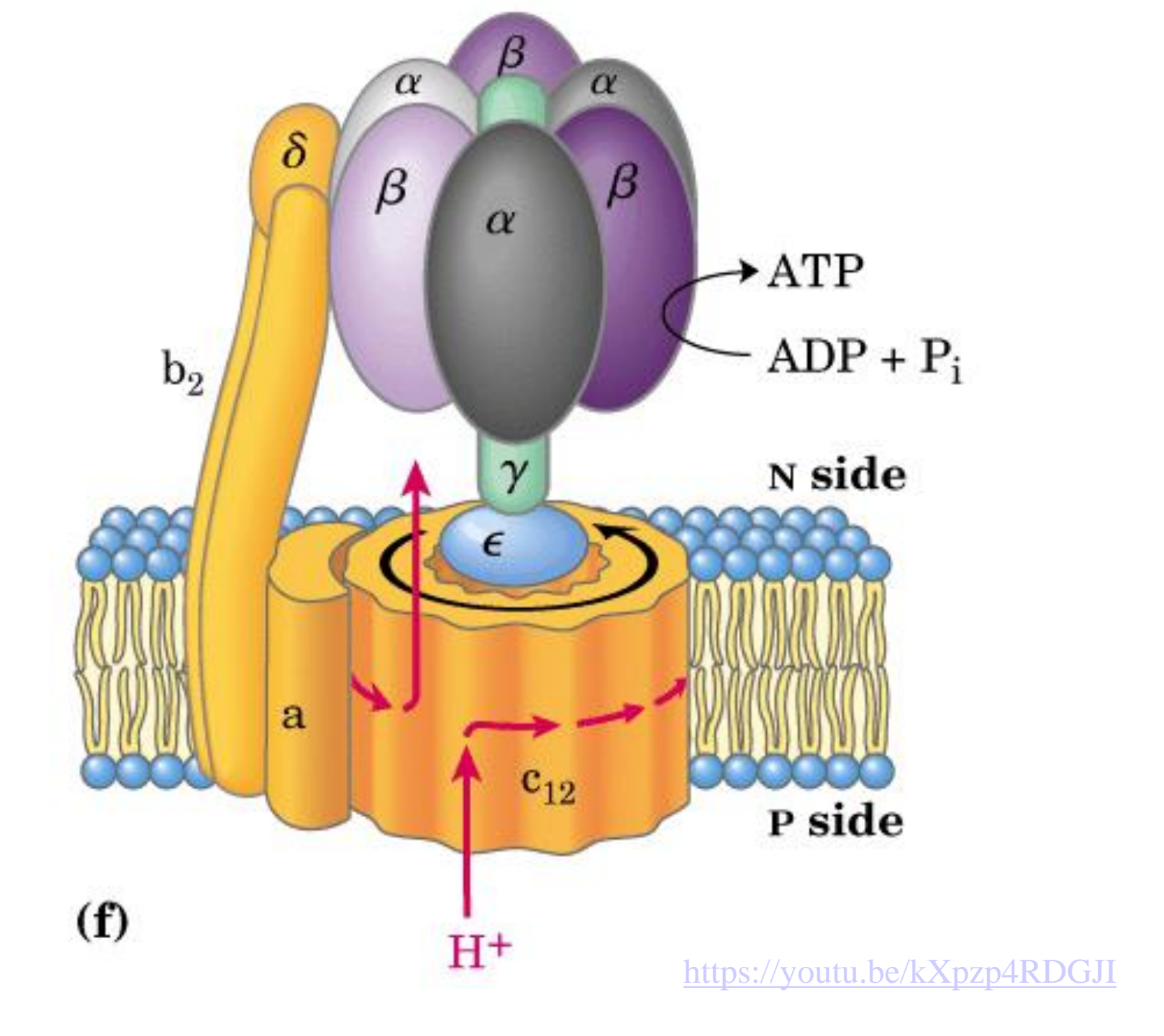
ATP sintasa (complejo F₀F₁)

El complejo F_0 tiene 3 tipos de subunidades a, b y c $(\mathbf{ab_2c_{10-12}})$

El complejo F_1 tiene 5 tipos diferentes de subunidades: $\alpha_3\beta_3\gamma\delta\epsilon$

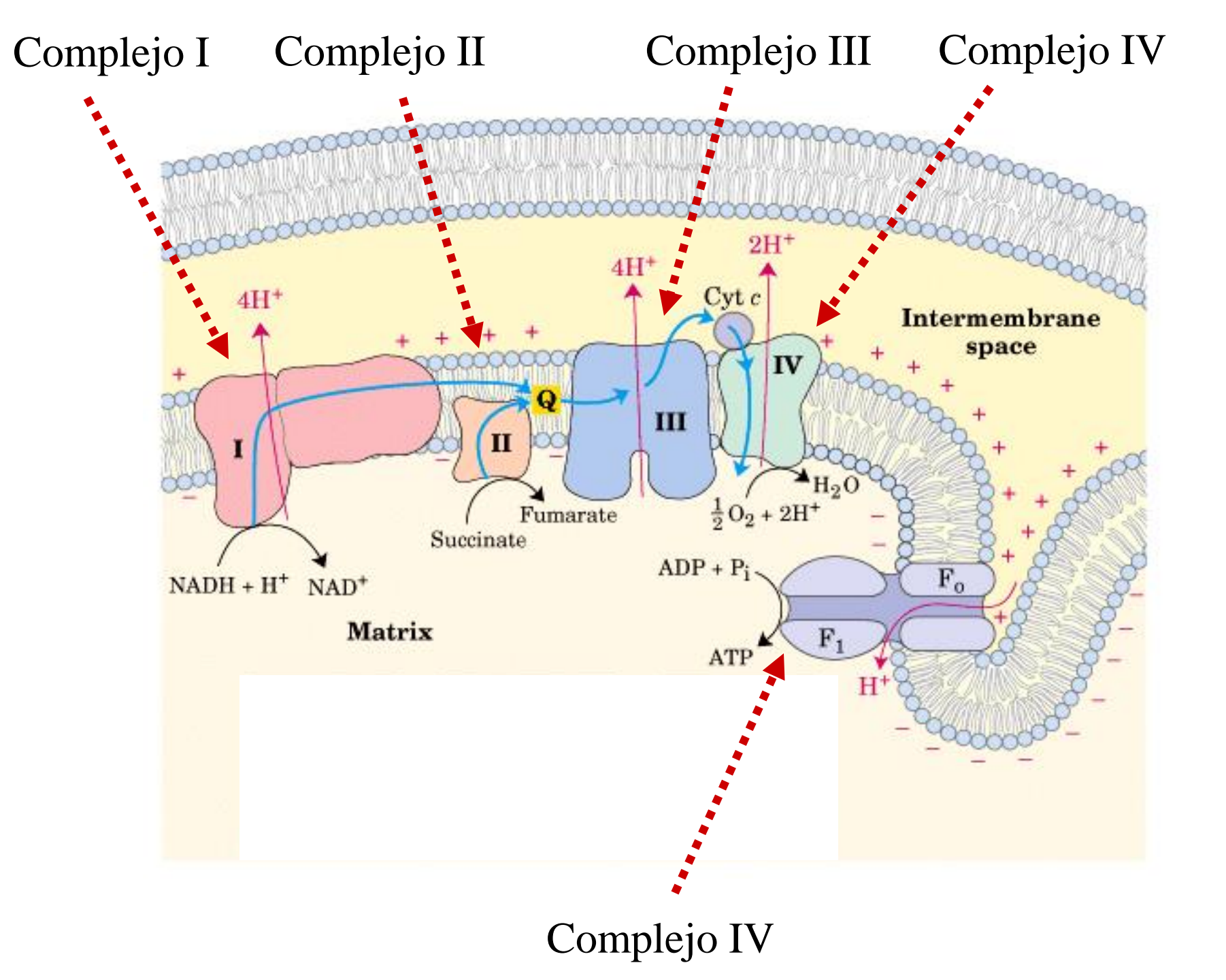




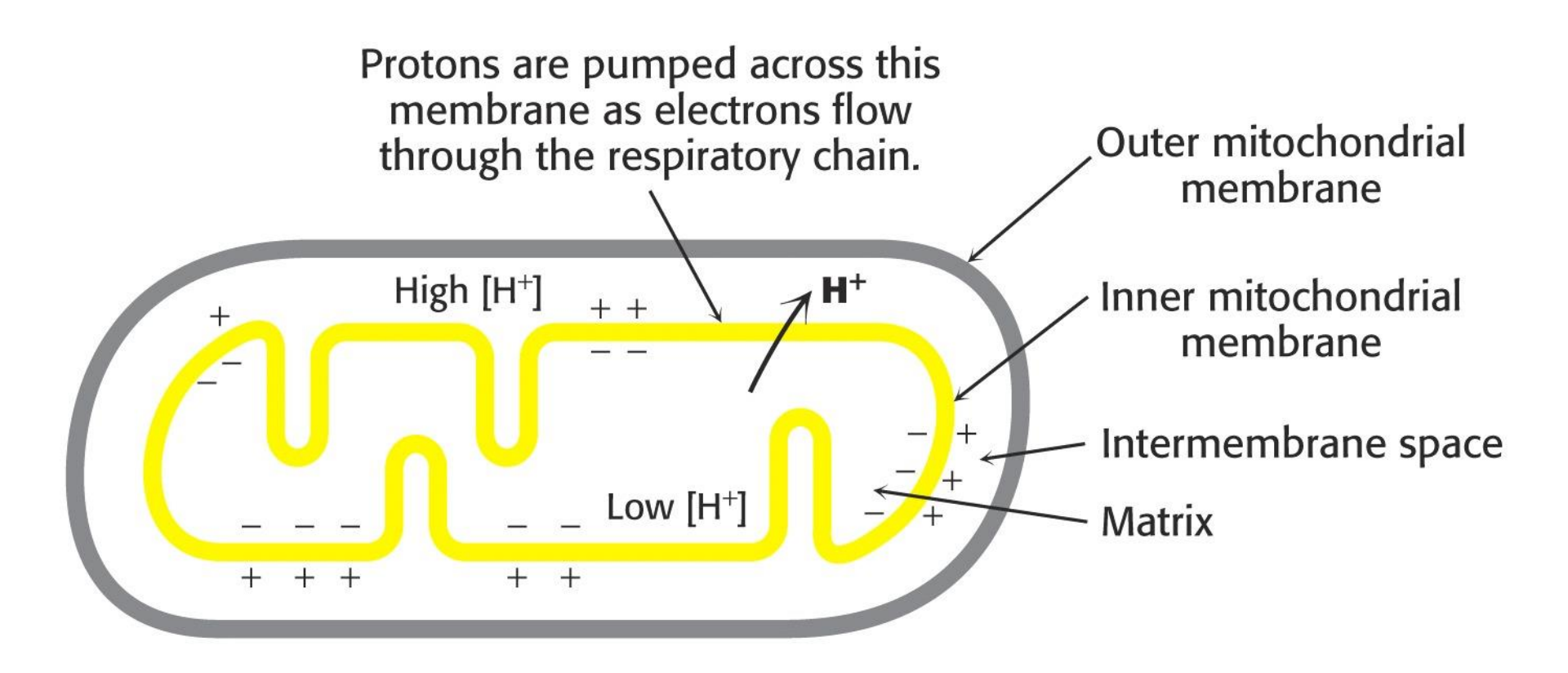


Potenciales estandar de reducción de la cadena respiratoria y transportadores de electrones relacionados

Reacción redox (semi-reacción)	E'° (V)
$2H^+ + 2e^- \longrightarrow H_2$	-0.414
$NAD^+ + H^+ + 2e^- \longrightarrow NADH$	-0.320
$NADP^+ + H^+ + 2e^- \longrightarrow NADPH$	-0.324
NADH dehydrogenase (FMN) + $2H^+ + 2e^- \longrightarrow NADH$ dehydrogenase (FMNH ₂)	-0.30
Ubiquinone + 2H ⁺ + 2 <i>e</i> ⁻ → ubiquinol	0.045
Cytochrome b (Fe ³⁺) + $e^- \longrightarrow$ cytochrome b (Fe ²⁺)	0.077
Cytochrome c_1 (Fe $^{3+}$) + $e^- \longrightarrow$ cytochrome c_1 (Fe $^{2+}$)	0.22
Cytochrome c (Fe ³⁺) + $e^- \longrightarrow$ cytochrome c (Fe ²⁺)	0.254
Cytochrome a (Fe ³⁺) + $e^- \longrightarrow$ cytochrome a (Fe ²⁺)	0.29
Cytochrome a_3 (Fe ³⁺) + $e^- \longrightarrow$ cytochrome a_3 (Fe ²⁺)	0.55
$\frac{1}{2}O_2 + 2H^+ + 2e^- \longrightarrow H_2O$	0.816







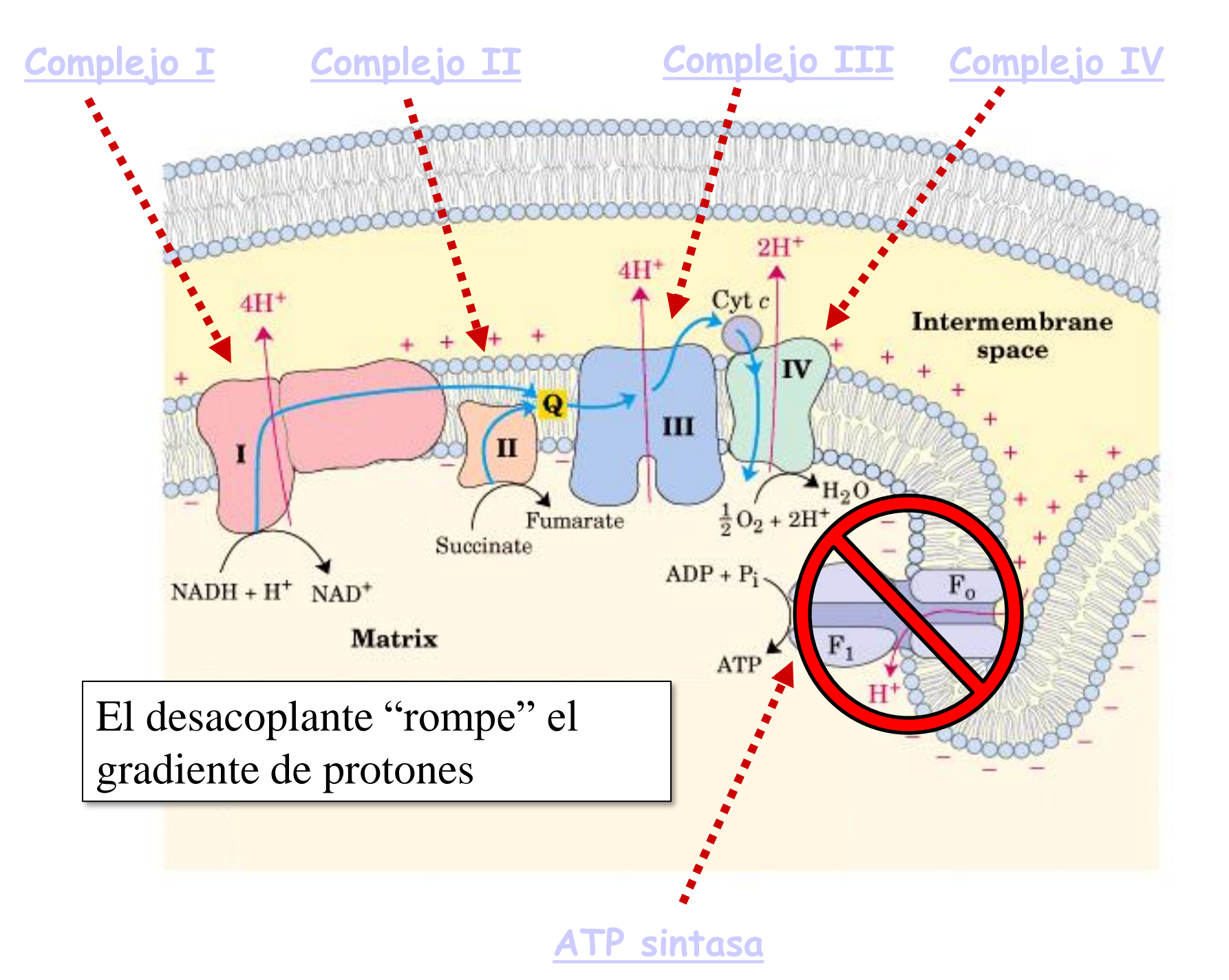
Agente desacoplante NO_2 O_2N

2,4 – Dinitrofenol (DNP)

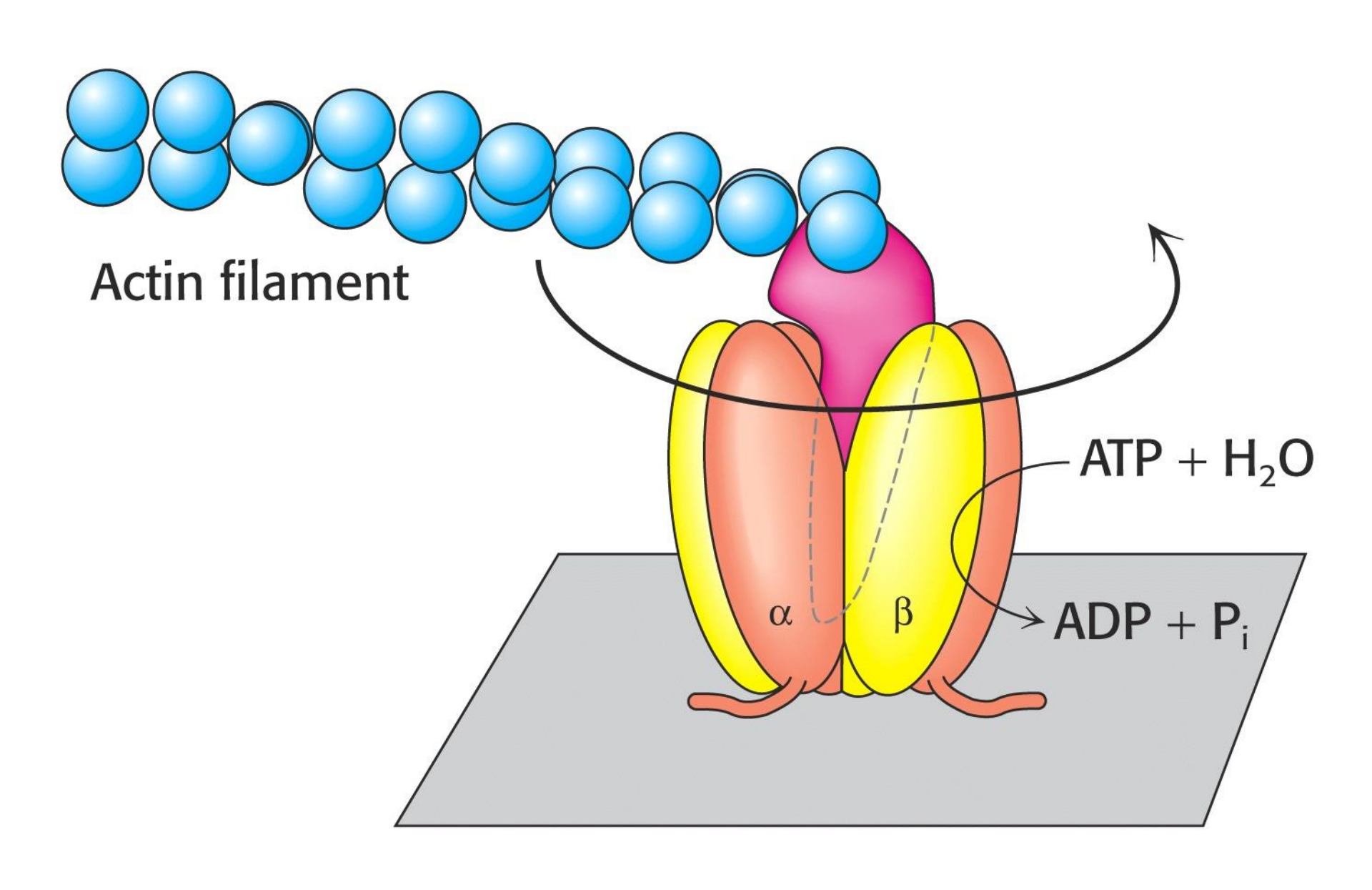
$$OH$$
 NO_2
 NO_2
 NO_2
 NO_2

2,4-dinitrofenol

Carbonilcianuro-p-trifluorometoxifenilhidrazona (FCCP)



Yasuda y colaboradores, en 1998 publicaron en la revista Cell, una demostración de la rotación de la porción F1-ATPasa dela ATP sintasa mitocondrial.

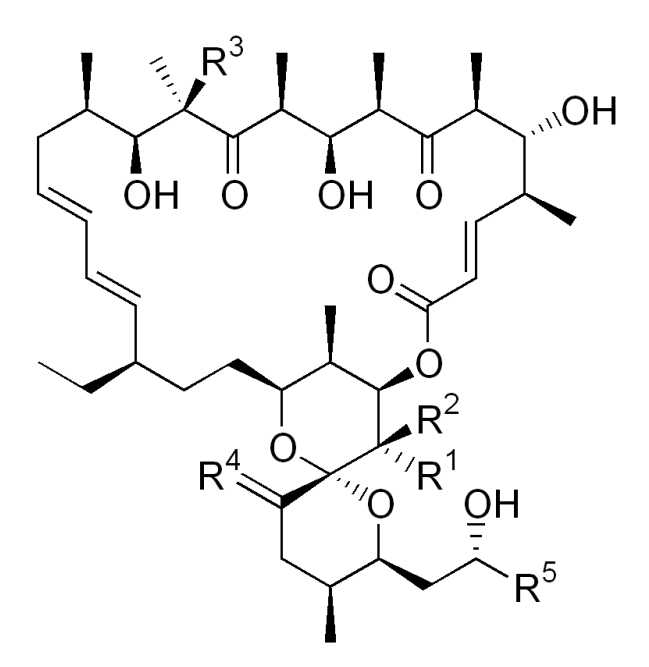


Inhibidores de la Fosforilación Oxidativa

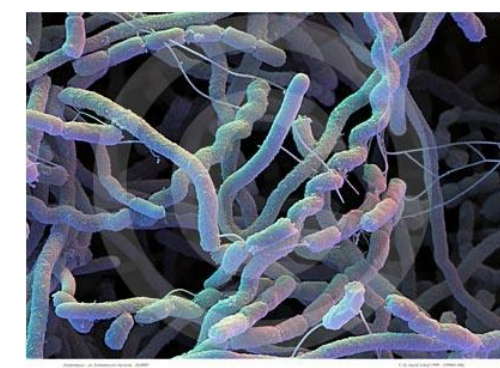
Nombre	Función	Sitio de Acción
Rotenona	inhibidor del transporte de e^-	Complejo I
Amital	inhibidor del transporte de e^-	Complejo I
Antimicina A	inhibidor del transporte de e^-	Complejo III
Cianuro	inhibidor del transporte de <i>e</i> ⁻	Complejo IV
Monóxido de Carbono	inhibidor del transporte de <i>e</i> ⁻	Complejo IV
Azida	inhibidor del transporte de <i>e</i> ⁻	Complejo IV
2,4,-dinitrofenol	Agente desacoplante	Transportador transmembrana de H ⁺
Pentaclorofenol	Agente desacoplante	Transportador transmembrana de H ⁺
Oligomicina	Inhibe la sintasa de ATP	Fracción OSCP de la sintasa de ATP

Derris elliptica





Streptomyces



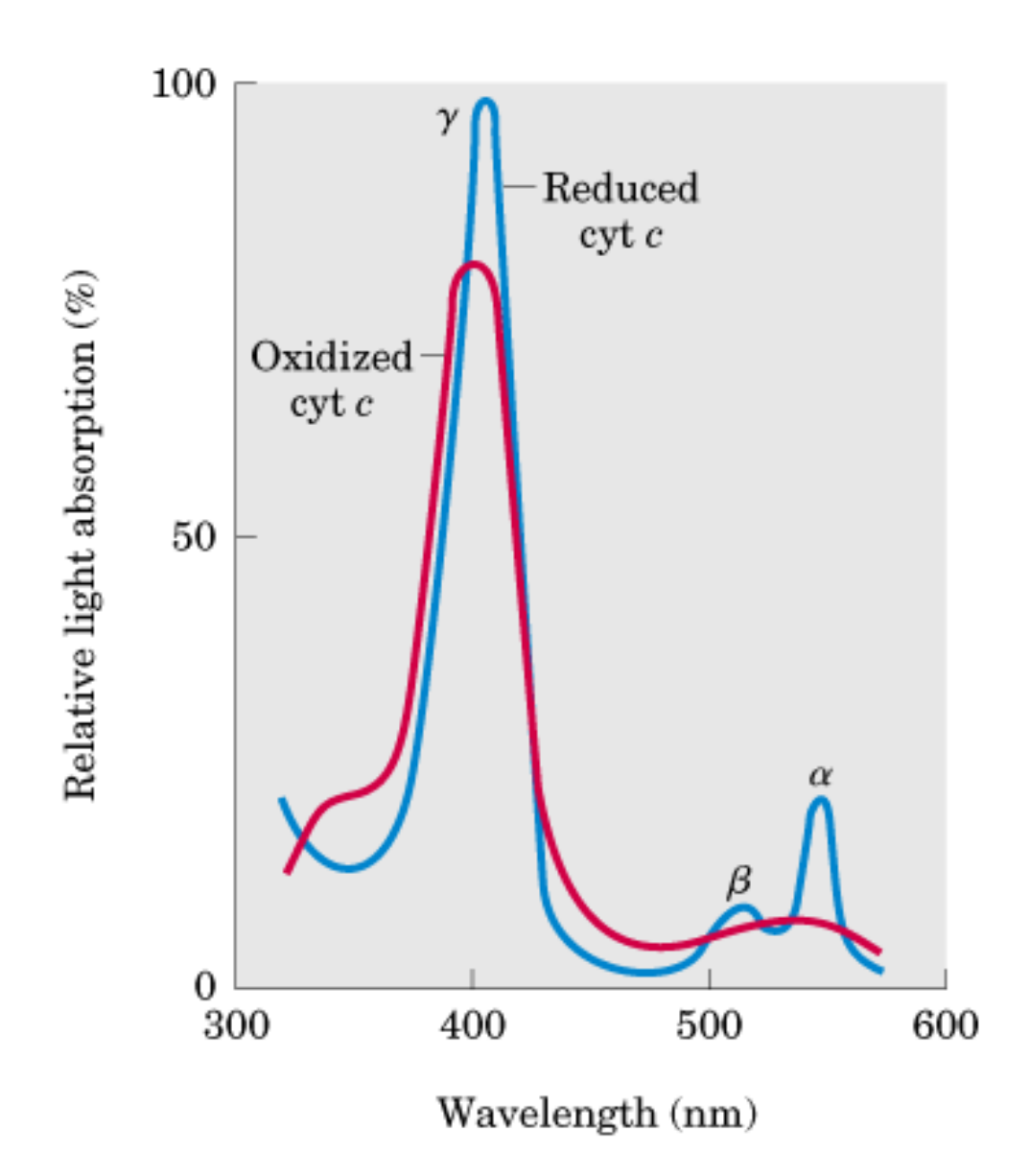
Oligomicina

$$(CH_{g})_{2}CHCH_{2}CH_{2}$$

Amytal (amobarbital)

Antimicina A1

Se puede distinguir la forma redox del citocromo por su espectro de absorción de luz



El uso de inhibidores específicos ayudó a dilucidar el orden en que los complejos participaban en la cadena transportadora de electrones.

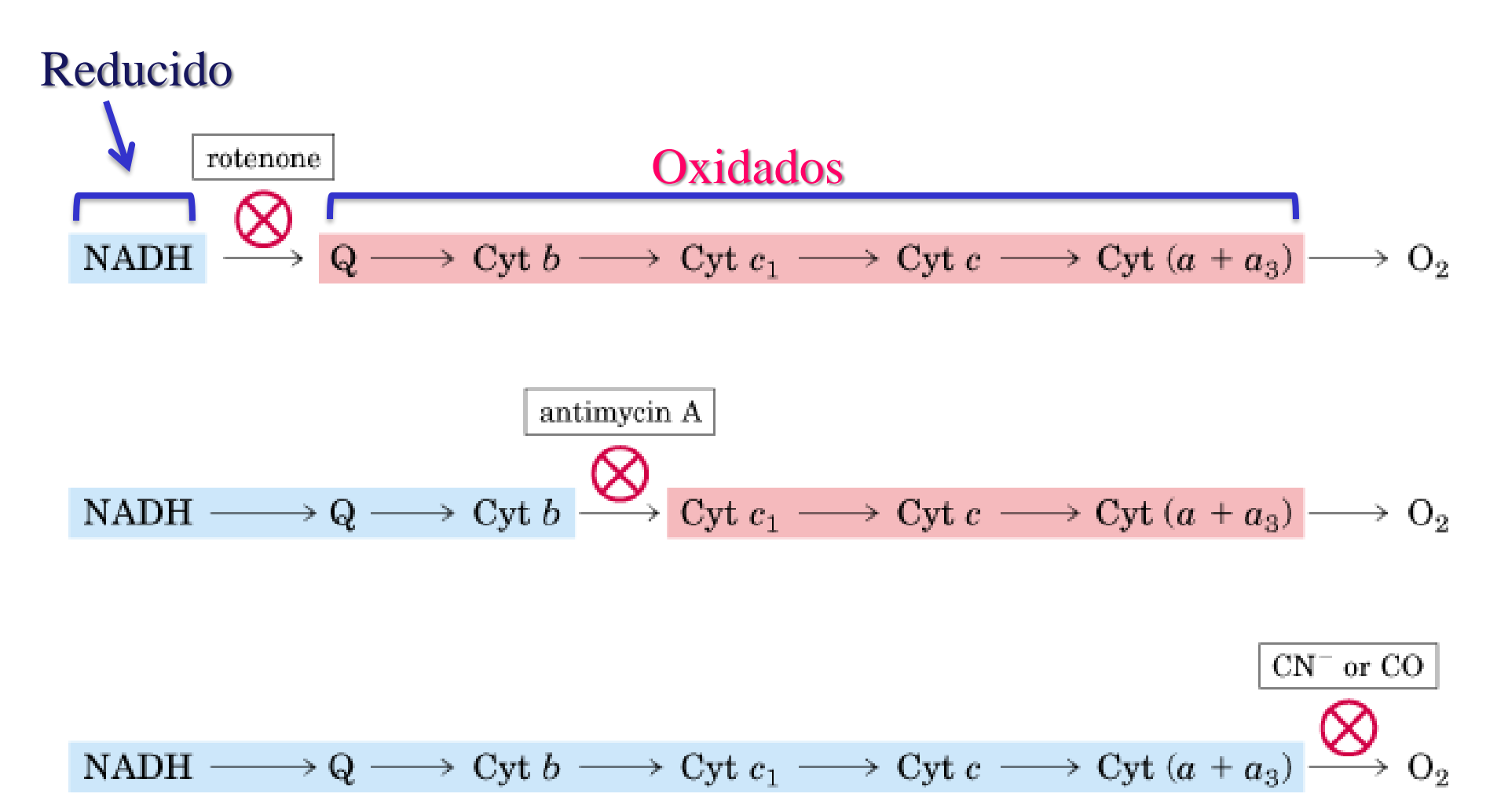


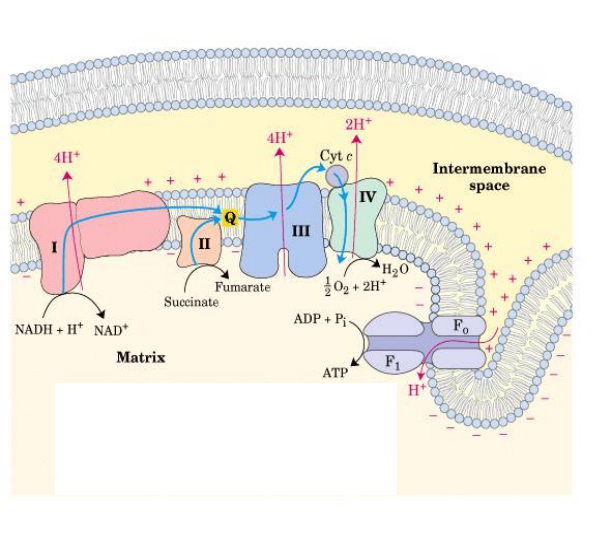
table 19-5

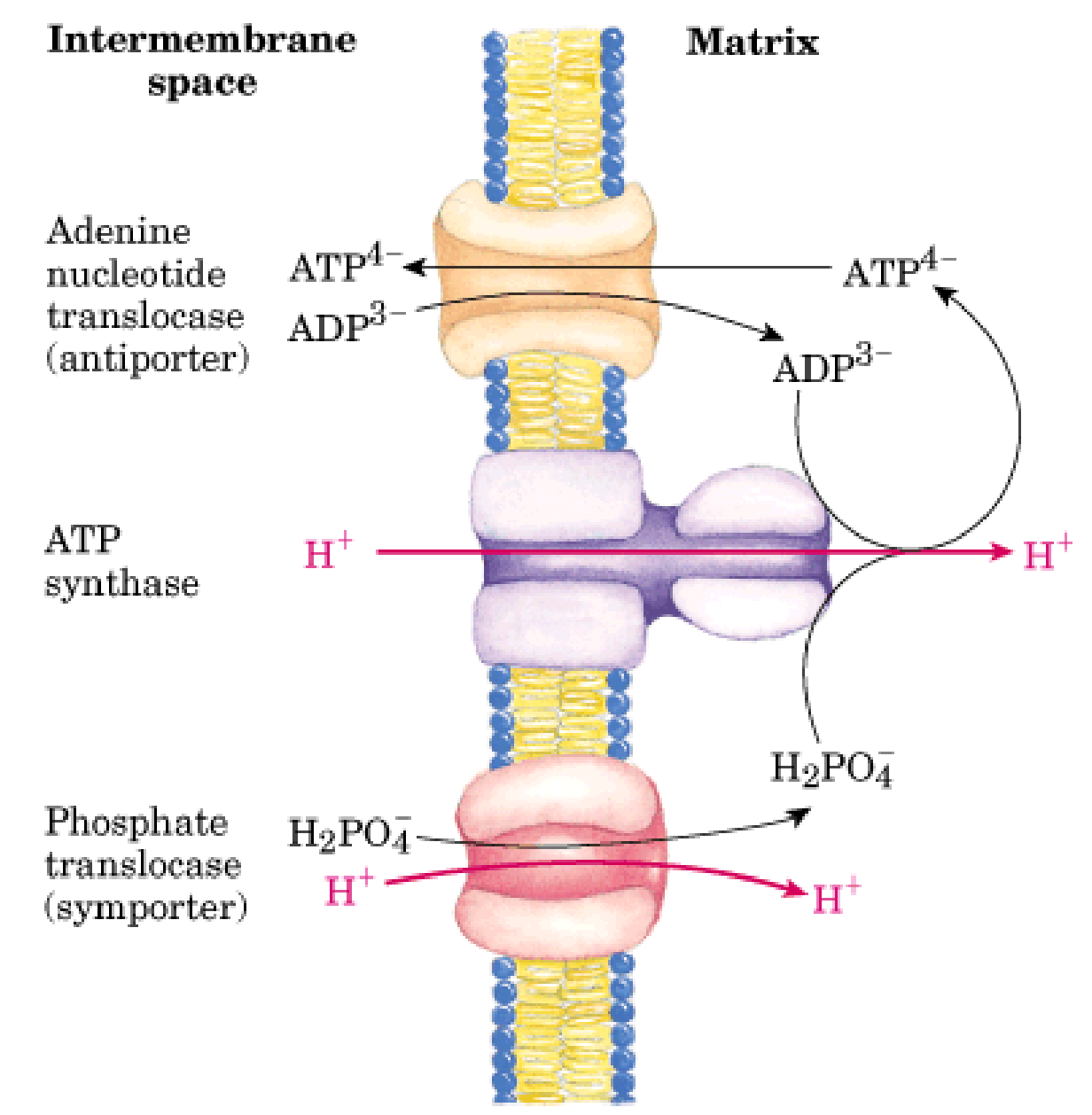
ATP Yield from Complete Oxidation of Glucose

Process	Direct product	Final ATP
Glycolysis	2 NADH (cytosolic) 2 ATP	3 or 5* 2
Pyruvate oxidation (two per glucose)	2 NADH (mitochondrial matrix)	5
Acetyl-CoA oxidation in citric acid cycle (two per glucose)	6 NADH (mitochondrial matrix)	15
	2 FADH ₂	3
	2 ATP or 2 GTP	2
Total yield per glucose		30 or 32

^{*}The number depends on which shuttle system transfers reducing equivalents into mitochondria.

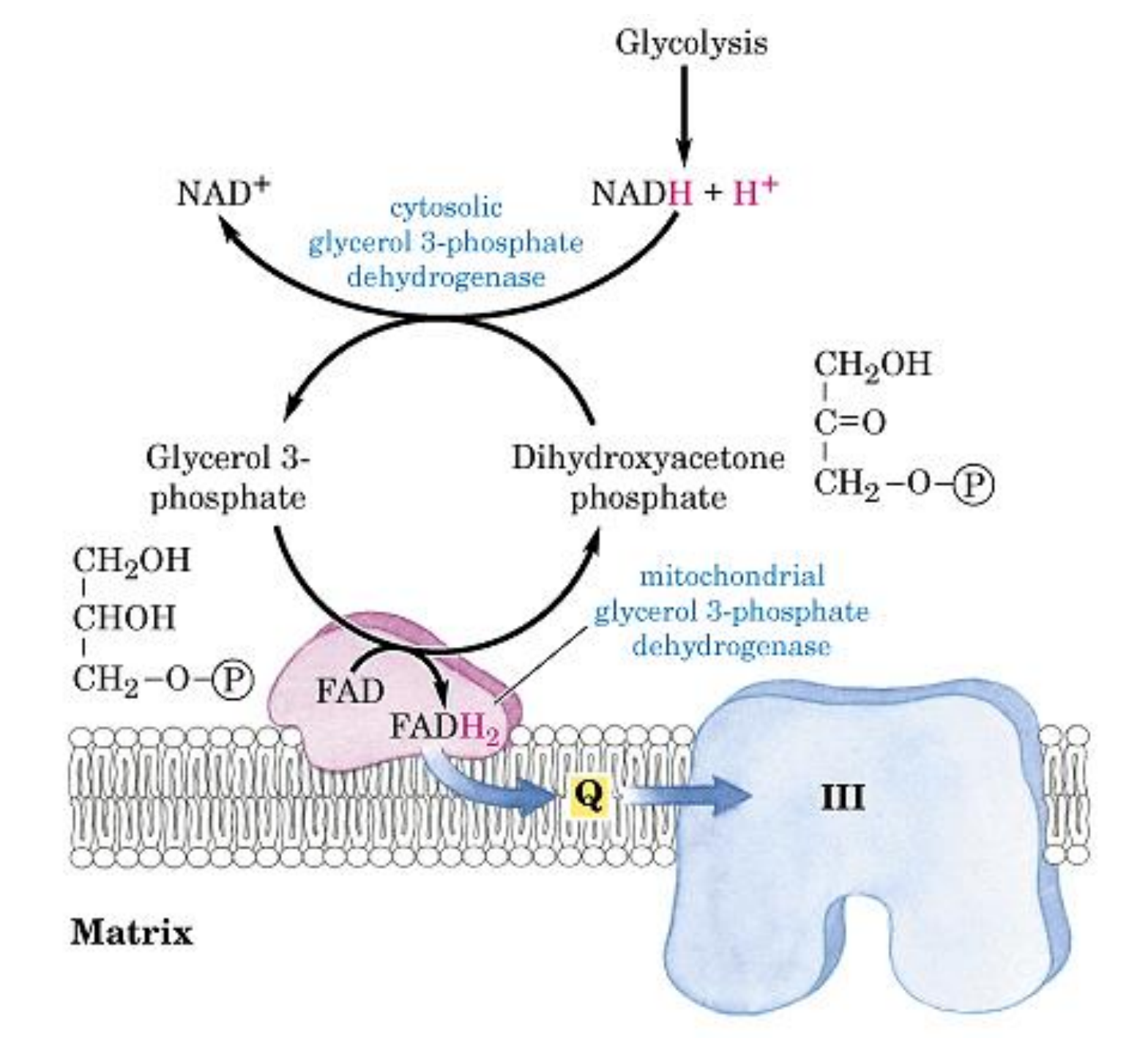
Transporte de en la membrana interna



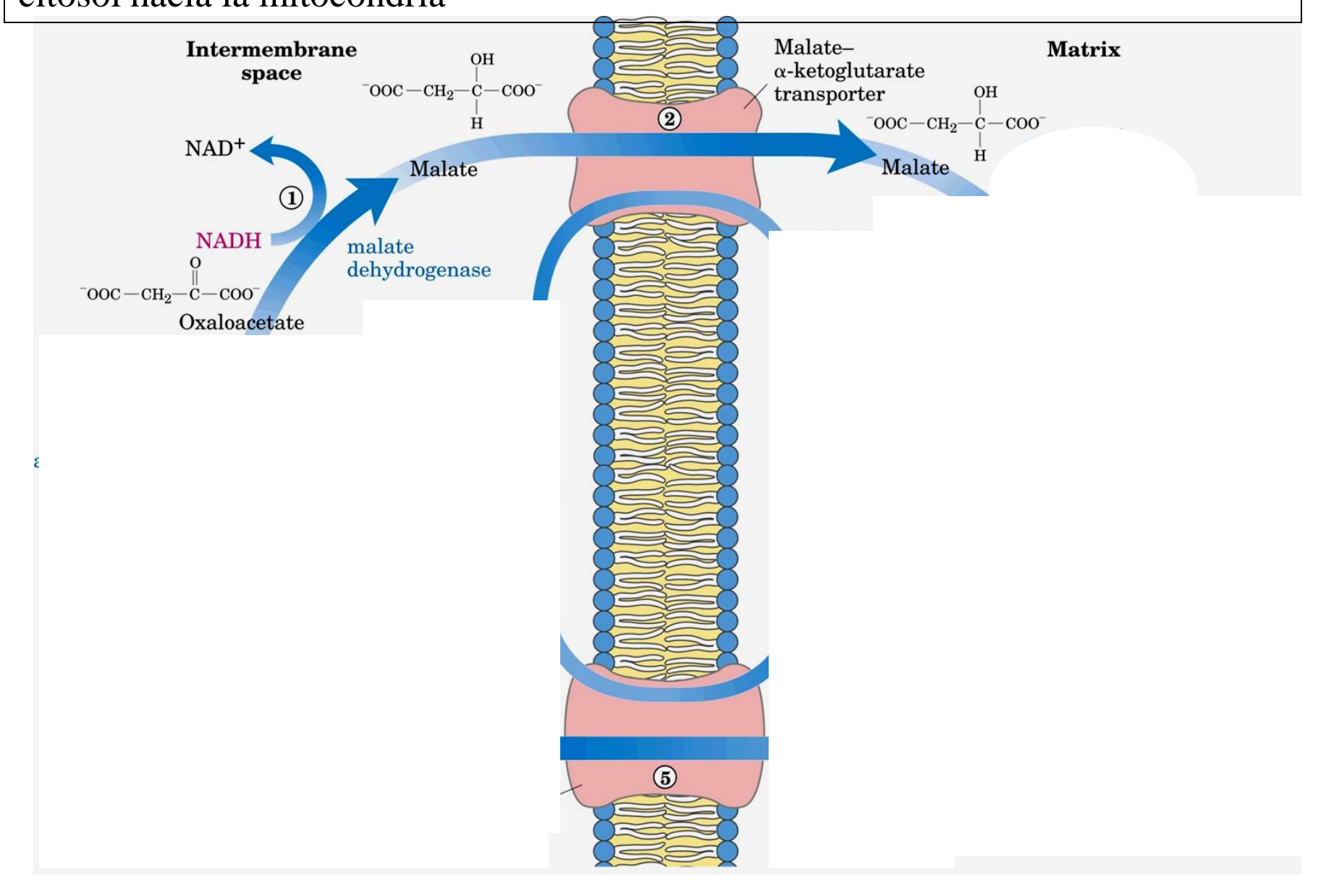


La membrana interna de la mitocondria es impermeable al NADH.

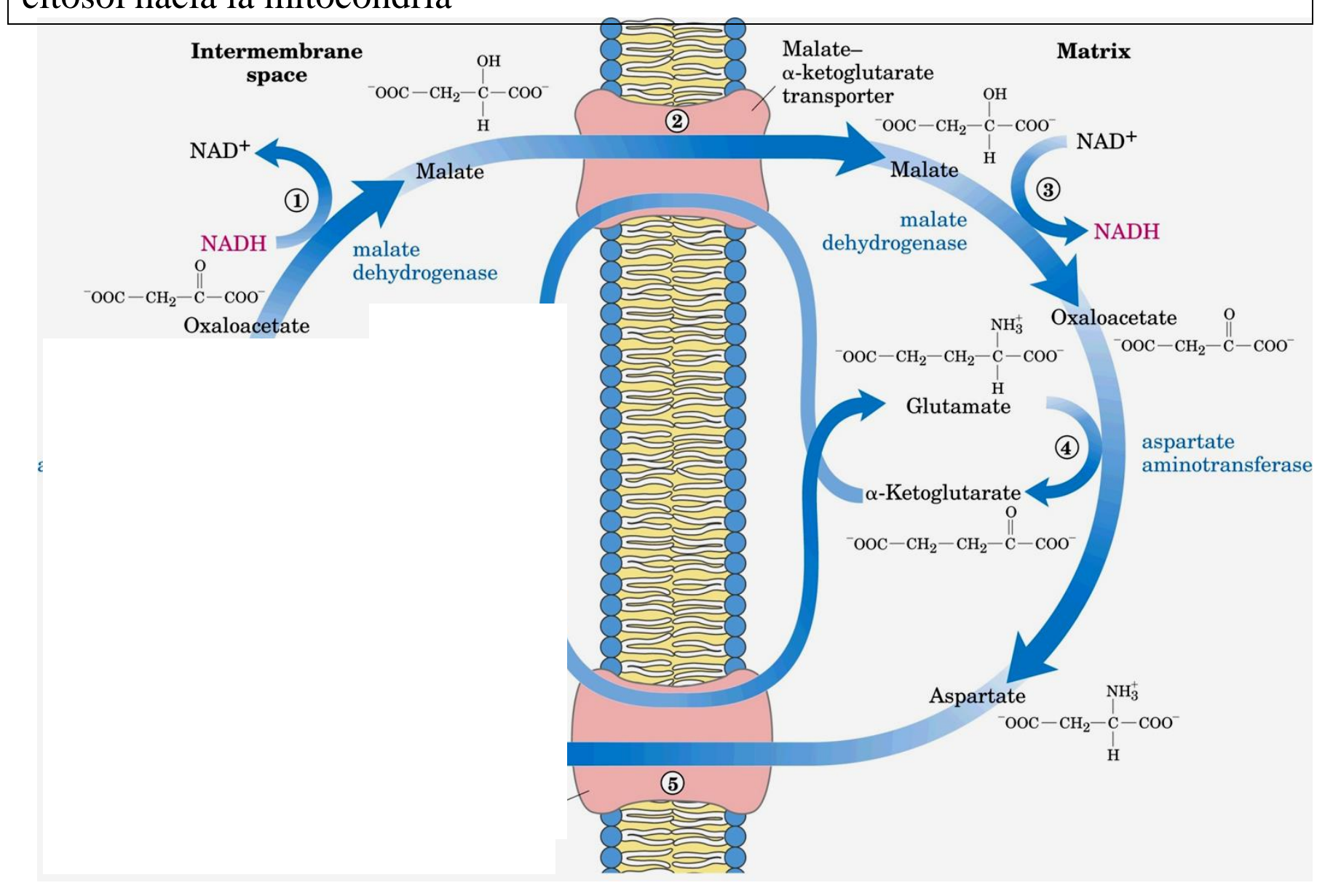
¿Cómo ingresa el NADH generado en el citosol a la matriz mitocondrial?



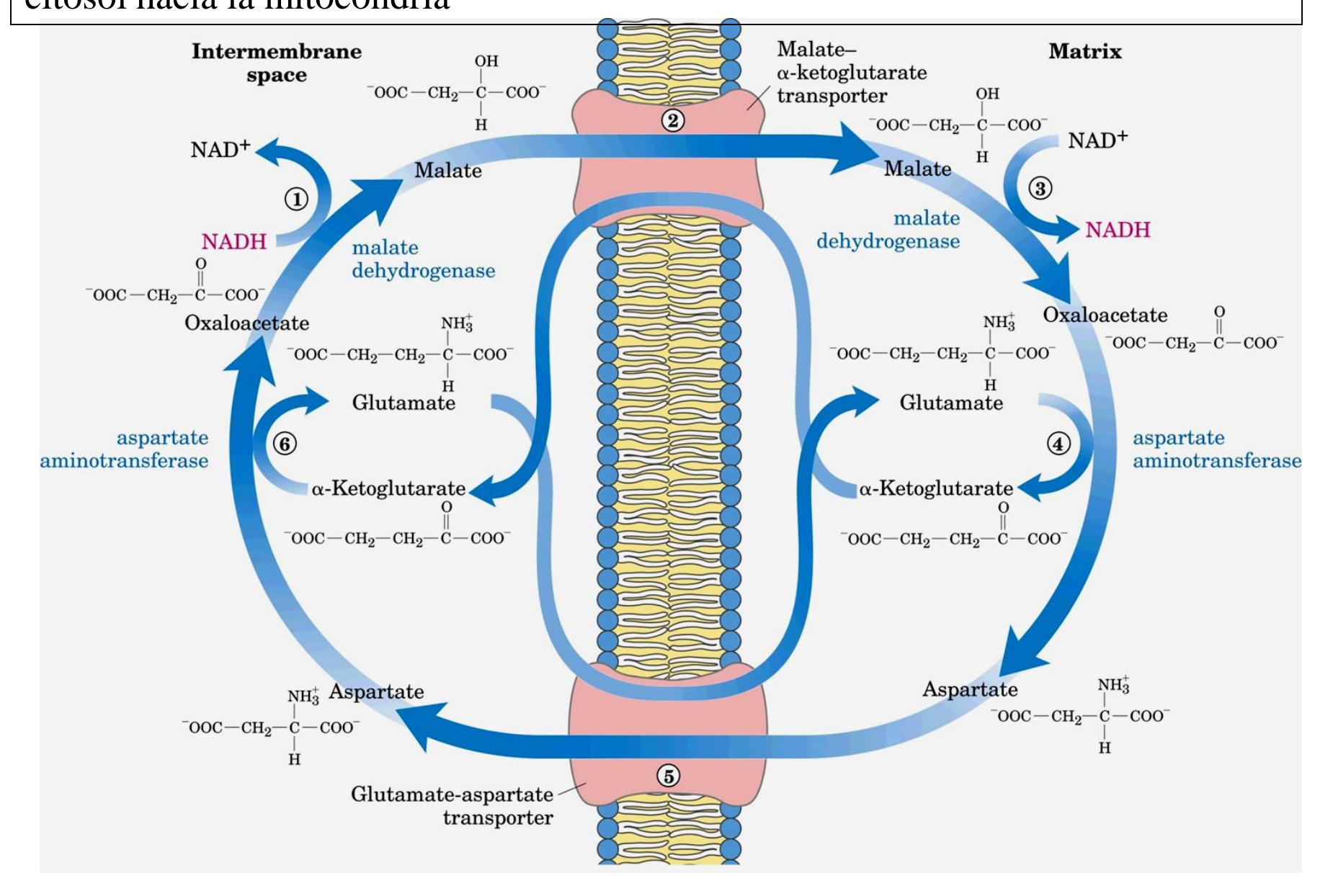
Lanzadera de malato-aspartato: permite el transporte de NADH desde le citosol hacia la mitocondria



Lanzadera de malato-aspartato: permite el transporte de NADH desde le citosol hacia la mitocondria



Lanzadera de malato-aspartato: permite el transporte de NADH desde le citosol hacia la mitocondria



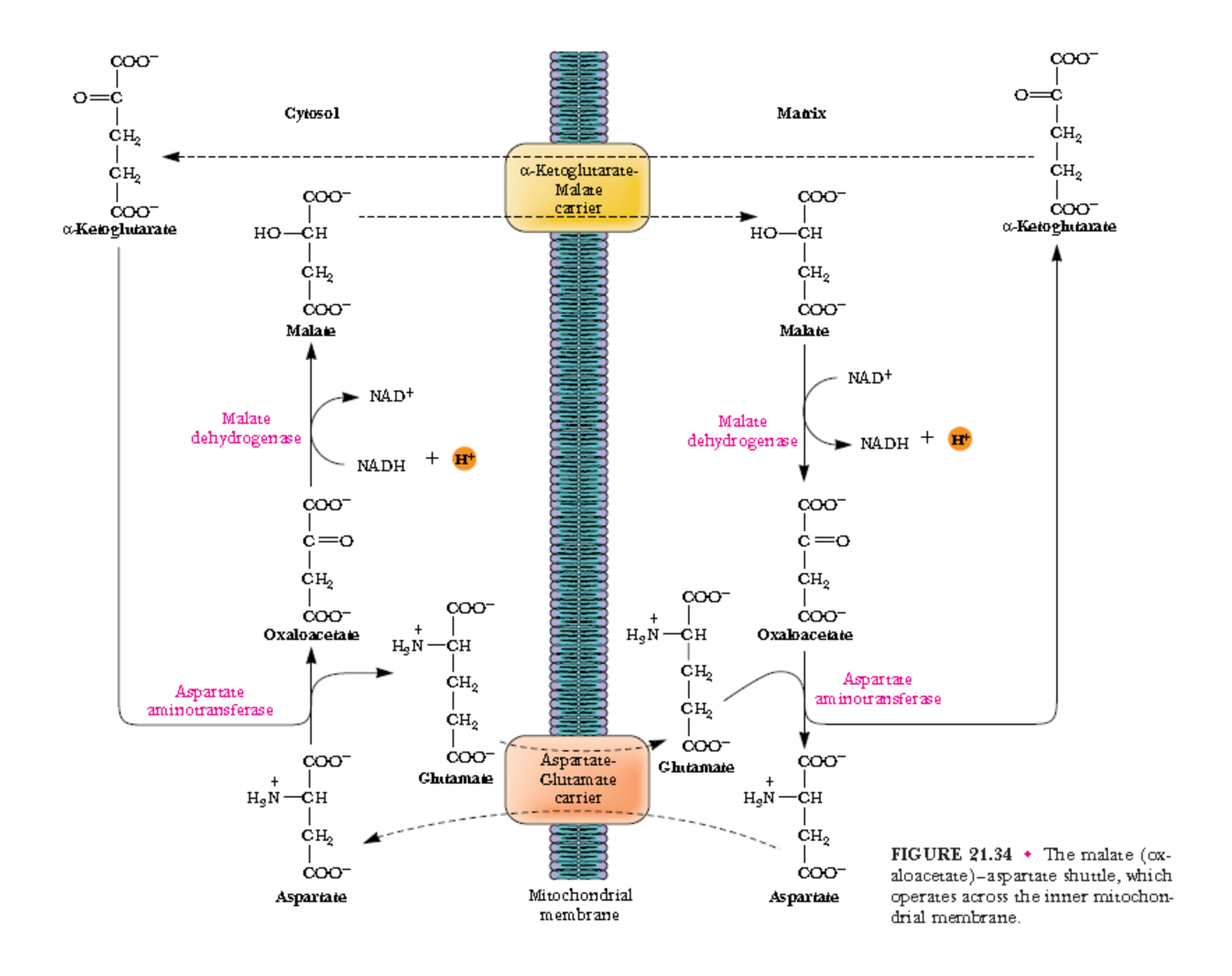


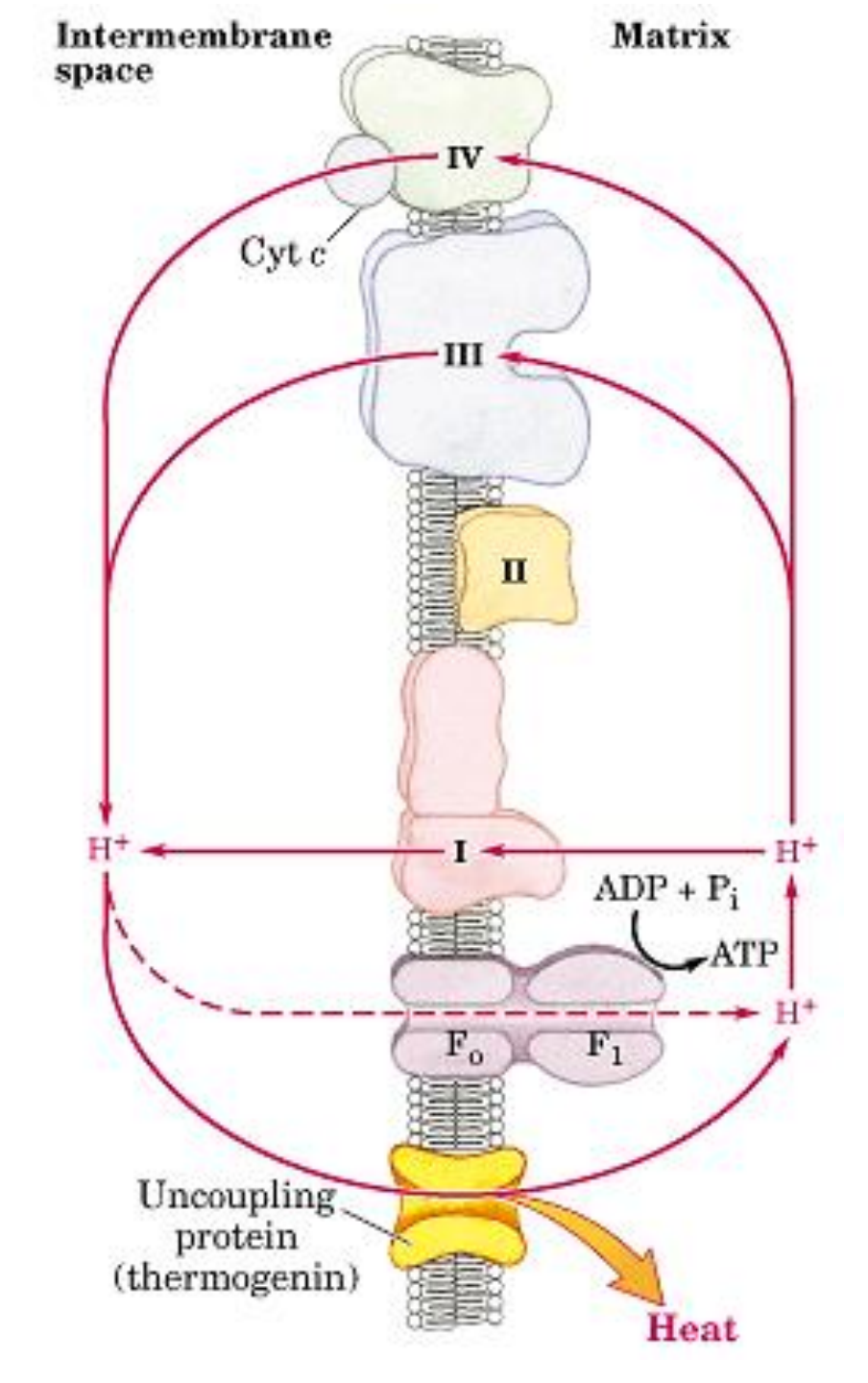
table 19-5

ATP Yield from Complete Oxidation of Glucose

Process	Direct product	Final ATP
Glycolysis	2 NADH (cytosolic)	3 or 5*
	2 ATP	2
Pyruvate oxidation (two per glucose)	2 NADH (mitochondrial matrix)	5
Acetyl-CoA oxidation in citric acid cycle (two per glucose)	6 NADH (mitochondrial matrix)	15
	2 FADH ₂	3
	2 ATP or 2 GTP	2
Total yield per glucose		30 or 32

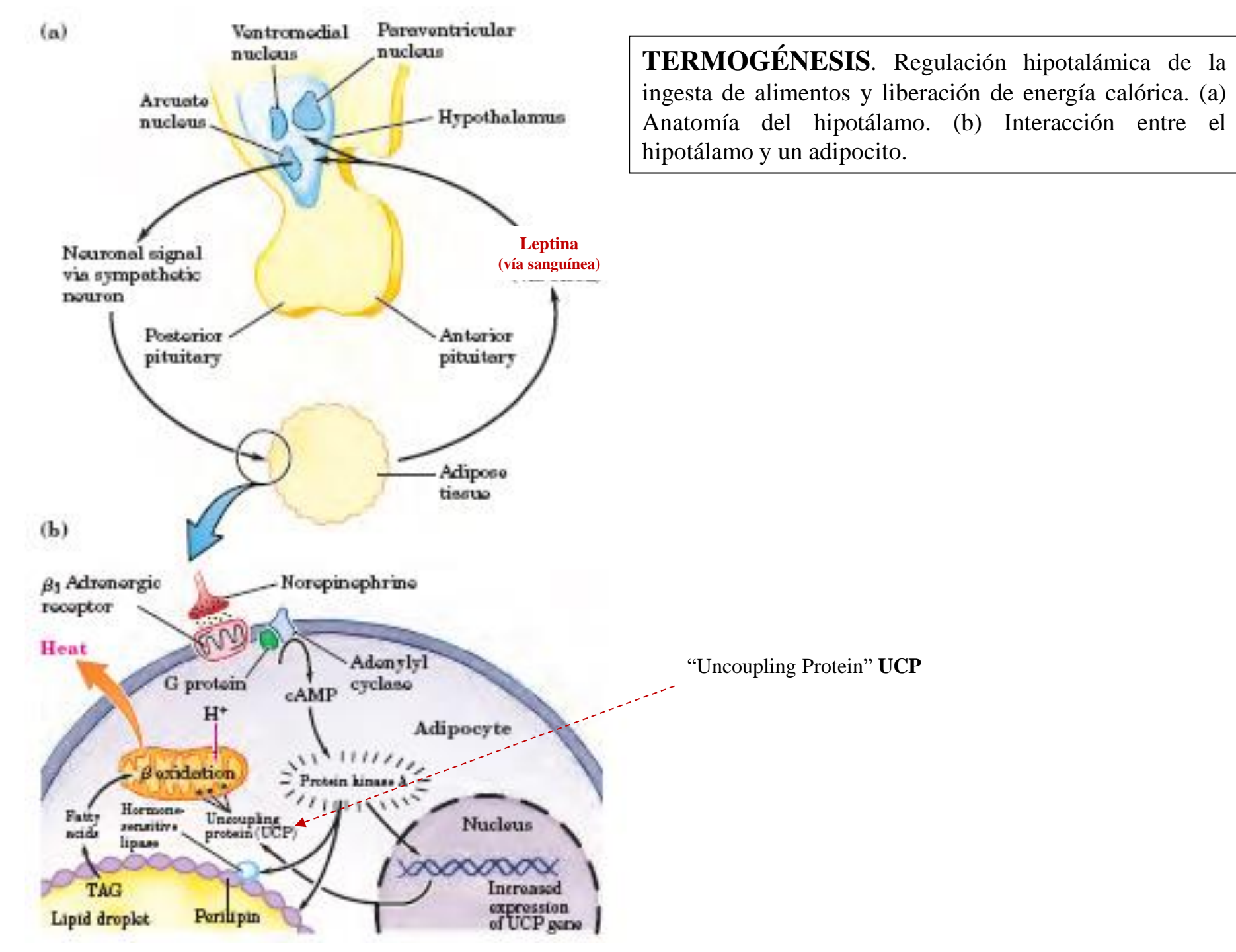
^{*}The number depends on which shuttle system transfers reducing equivalents into mitochondria.

Termogenina





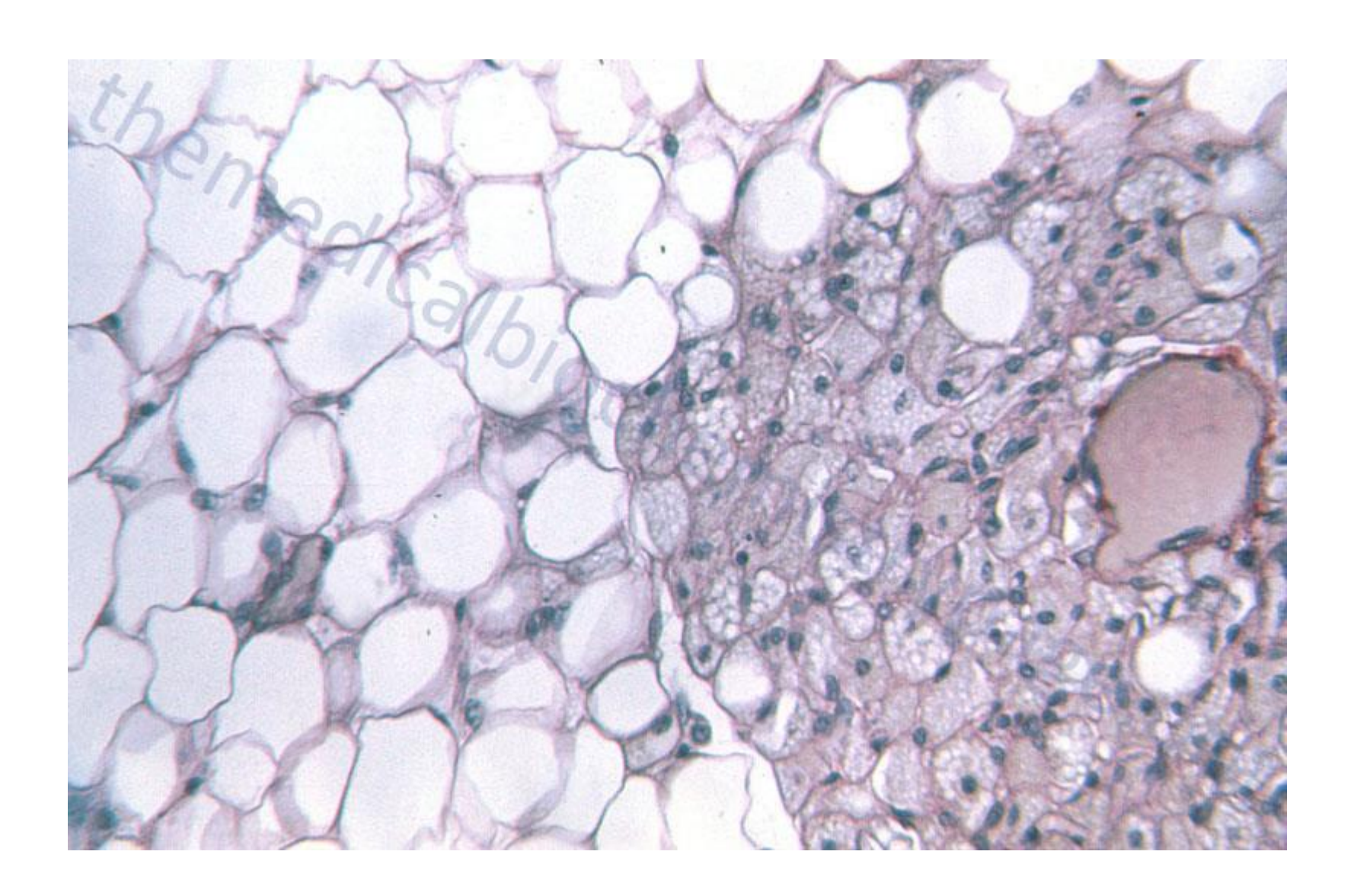
La rata obesa fue manipulada genéticamente. No tiene el gen que codifica para la leptina. Ambas ratas tienen la misma dieta. El exceso de alimentos induce normalmente termogénesis.





Obesity caused by defective leptin production. Both these mice, which are the same age, have defects in the OB gene. The mouse on the right was provided with purified leptin by daily injection, and weighs 35 g. The mouse on the left got no leptin, consequently ate more food and was less active, and weighs 67 g.

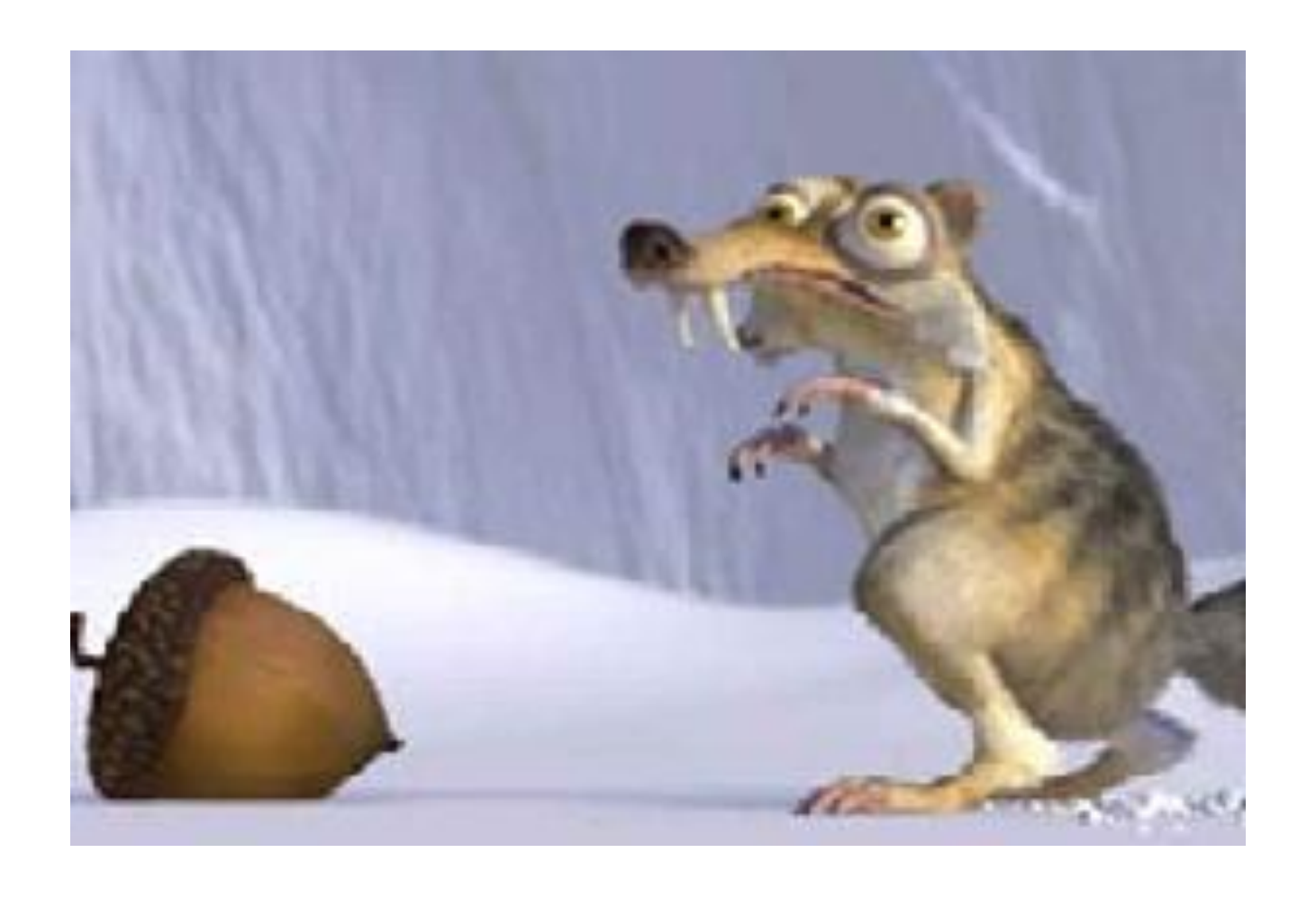




Hibernación



El frío induce termogénesis



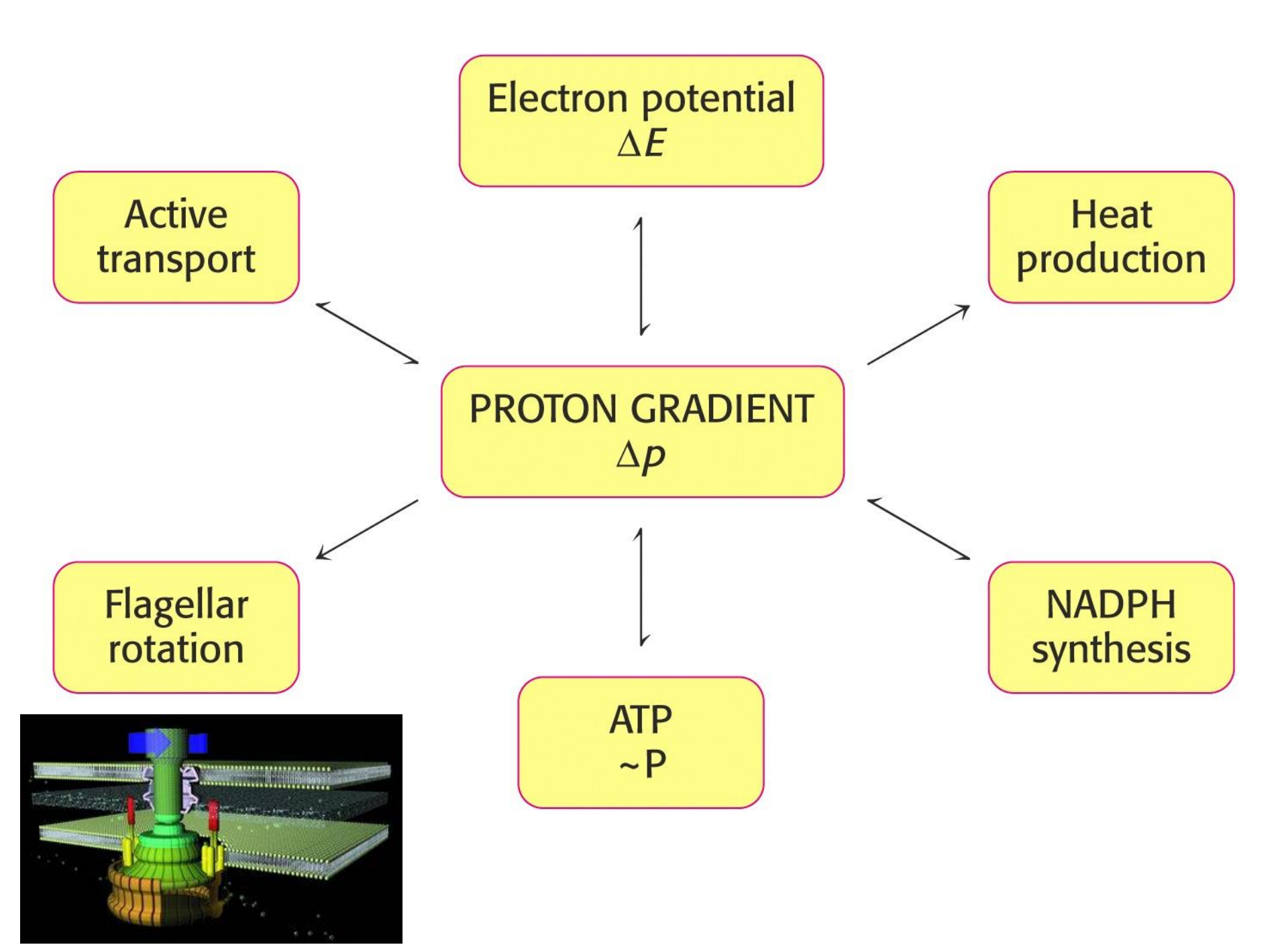
Termogénesis en plantas

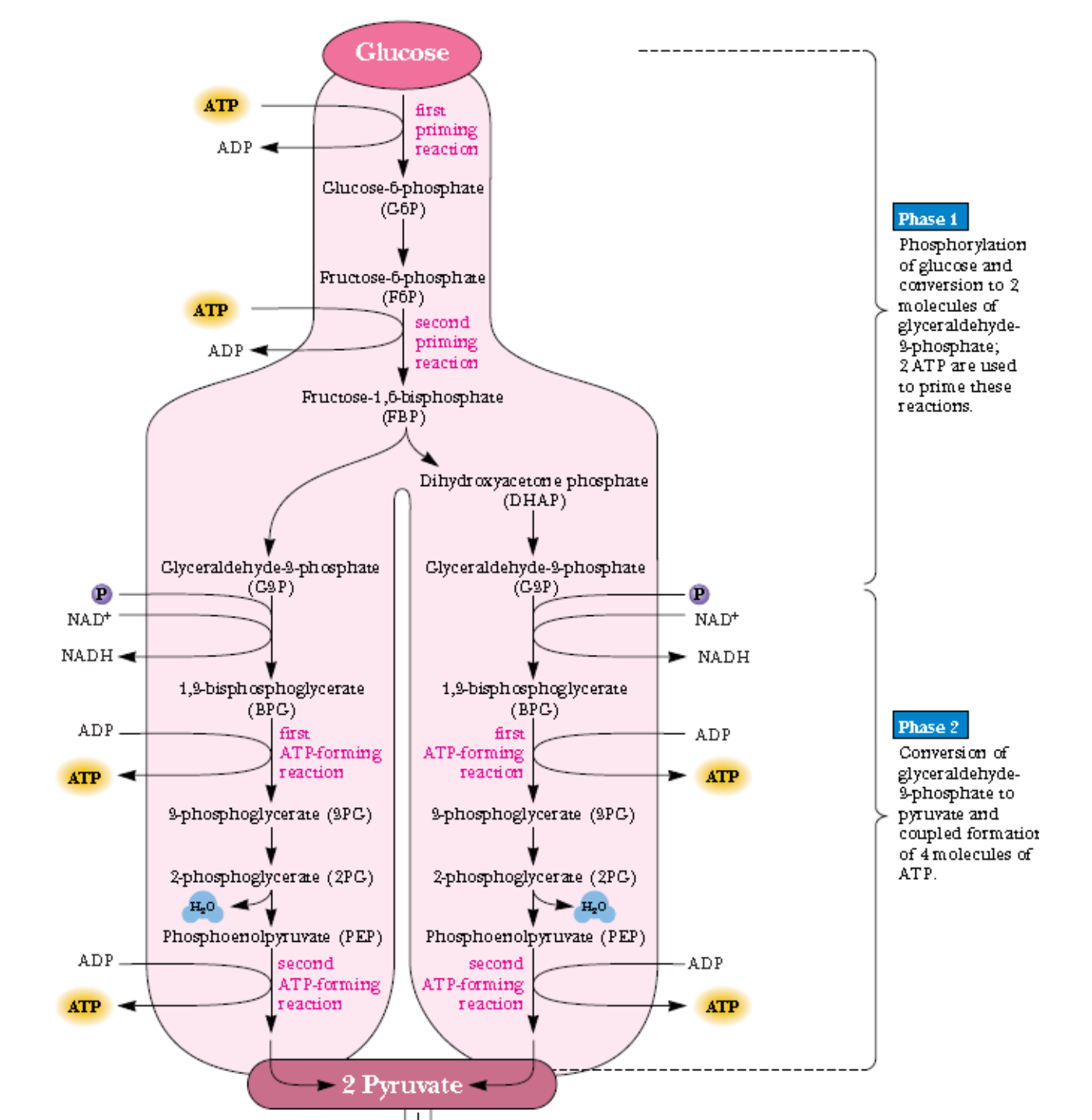






Proteínas de desacoplamiento (UCP): desacoplan la fosforilación oxidativa (protonóforos)				
	Función	Distribución tisular	Regulación por hormonas tiroideas	Otros reguladores
UCP1 (Termogenina)	Termogénesis sin escalofrío en neonatos y en namíferos no primates.	Tejido adiposo pardo (TAP-BAT)	 Aumentan la transcripción. Aumentan la sensibilidad a las catecolaminas por sobrerregulación de receptores β₅. Hipertiroidismo: inhibición paradójica de la termogénesis en TAP. 	Activación en el frío vía sistema simpaticoadrenal. La leptina activa, en casos. Il ATP inhibe.
UCP2	 Regulación del peso corporal y del balance energético. Defensa contra la generación de radicales libres. Fiebre. 	La mayoría de los tejidos: músculos estriados esquelético y cardiaca, bazo, timo, leucocitos, hígado, TAB.	Baja respuesta.	Leptina vía activación del sistema simpaticoadrenal. La restricción calórica aumenta su RNAm
UCP3	Es el principal componente de la termogénesis sin escalofrío en los adultos.	Alta expresión en el misculo esquelético, baja en el cardiaco, TAP.	 Transcripción: baja en hipotiroidismo, alta en hipertiroidismo. Aumenta la sensibilidad al estímulo simpático por sobrerregulación del receptor β₃. 	 Leptina vía activación del sistema simpaticoadrenal. La restricción calórica aumenta su RNAm Ácidos grasos Catecolaminas vía receptores β₂. El ATP inhibe.
UCP4	• ¿Apoptosis?	Prototipo ancestral. Cerebro.		
BMCP (UCP5)		Cerebro.		



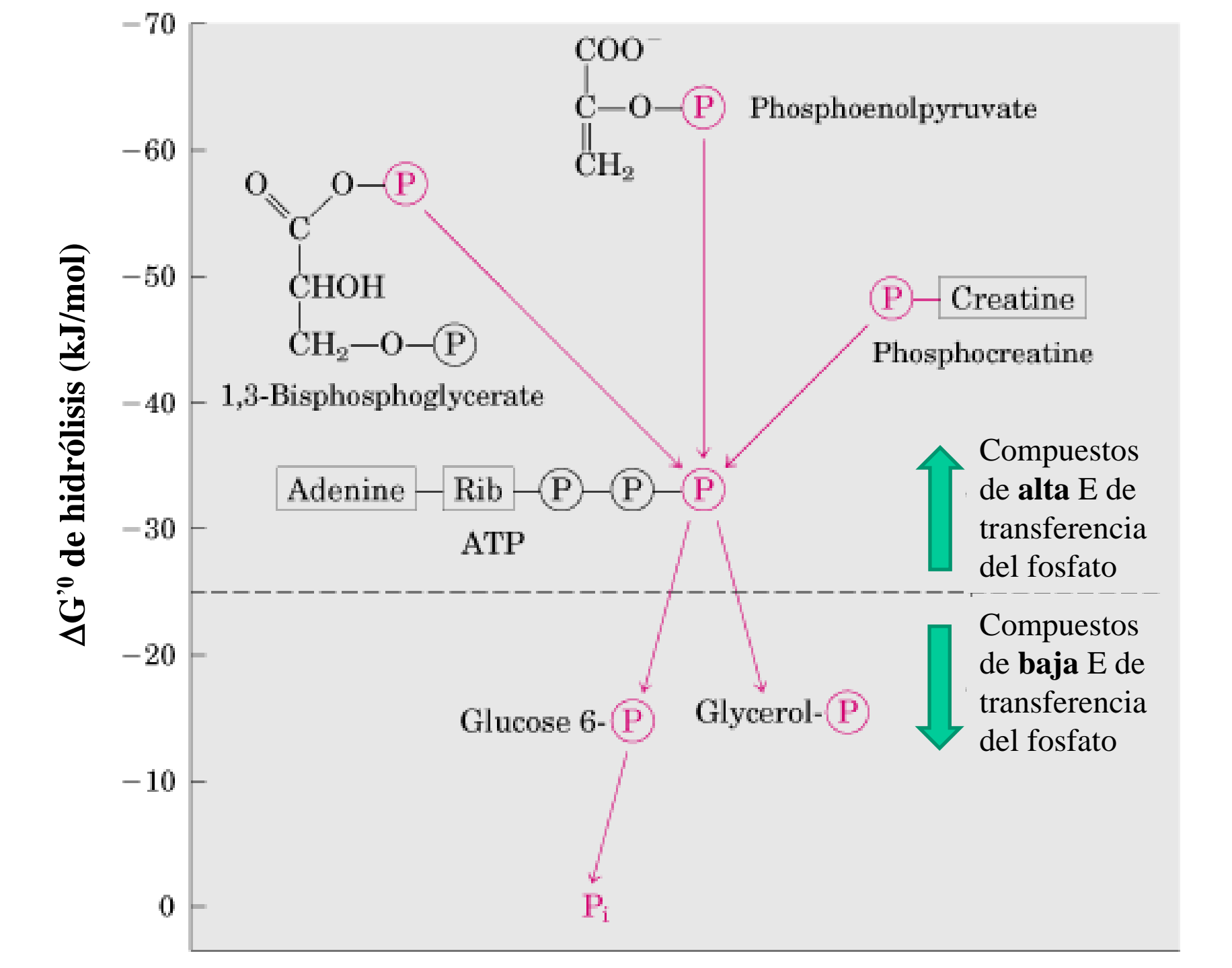


$$\begin{array}{c} \text{COO}^- & \text{COO}^- \\ \text{CH}_2 & \text{H}_2\text{O} \\ \text{H} & \text{CH}_2 \\ \text{H}_2\text{N} & \text{CC}-\text{N}-\text{CH}_3 \\ \text{Pi} & \text{H}_2\text{N}-\text{C}-\text{N}-\text{CH}_3 \\ \text{Phosphocreatine} \\ \end{array}$$

La fosfocreatina tiene tendencia a transferir el grupo fosfato. Puede transferirlo al ADP para formar ATP.

ADP + fosfocreatina
$$\longrightarrow$$
 ATP + creatina $\triangle G = -12.5 \text{ kJ/mol}$

El músculo esquelético tiene una concentración de 30 mM de fosfocreatina, diez veces más que [ATP]. De acuerdo al principio de Le Chatelier el equilbrio se puede desplazar hacia la formación de ATP si baja su concentración demasiado. Por lo tanto este sistema funciona como "buffer" de ATP. Estas sustancias se llaman **fosfágenos**.



	Moles de ATP/min
Sistema de los fosfágenos	4
Sistema del glucógeno-ácido láctico	2,5
Sistema aeróbico	1

Cuando se comparan los mismos sistemas para la resistencia, los valores relativos son los siguientes:

	Tiempo
Sistema de los fosfágenos	De 8 a 10 s
Sistema del glucógeno-ácido láctico	De 1,3 a 1,6 min
Sistema aeróbico	Tiempo ilimitado (tanto como duren los nutrientes)

Un ser humano de 70 kg requiere en promedio 11.700 kJ de energía diariamente (2.800 kcalorías). Asumiendo una eficiencia de un 50% en la producción de ATP producto del metabolismo, si se ingiere el requerimiento diario de 11.700 kJ en forma de alimentos, se generaría una energía equivalente 5.400 kJ de síntesis de ATP. Si en condiciones celulares la hidrólisis de 1 mol de ATP genera aproximadamente 50 kJ de energía, esto equivale a **117 moles** .

Esto traducido a masa de ATP (masas molecular = 551) corresponde a 65 kg diarios !!!

Un ser humano de 70 kg contiene aproximadamente 50 g de ATP/ADP

Por lo tanto el ATP debe ser reciclado

casi 1.300 veces diariamente